

**SINTESIS ZEOLIT DARI ABU DASAR BATUBARA DENGAN VARIASI
WAKTU KALSINASI SECARA HIDROTERMAL DAN UJI ADSORPSI
TERHADAP LOGAM Cd (II)**

**Skripsi
Untuk memenuhi sebagian persyaratan
mencapai derajat Sarjana S-1**

Program Studi Kimia



**Oleh:
Hargian Saputro
10630023**

**PROGRAM STUDI KIMIA
FAKULTAS SAINS DAN TEKNOLOGI
UNIVERSITAS ISLAM NEGERI SUNAN KALIJAGA
YOGYAKARTA
2015**

SURAT PERSETUJUAN SKRIPSI/TUGAS AKHIR

Hal : Persetujuan Skripsi/Tugas Akhir

Lamp :-

Kepada

Yth. Dekan Fakultas Sains dan Teknologi
UIN Sunan Kalijaga Yogyakarta
di Yogyakarta

Assalamu'alaikum wr. wb.

Setelah membaca, meneliti, memberikan petunjuk, dan mengoreksi serta mengadakan perbaikan seperlunya, maka kami selaku pembimbing berpendapat bahwa skripsi Saudara:

Nama : Hargian Saputro

NIM : 10630023

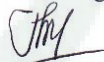
Judul Skripsi : Sintesis Zeolit dari Abu Dasar Batubara dengan Variasi Waktu Kalsinasi Abu Dasar Secara Hidrotermal Dan Uji Adsorpsi Terhadap Logam Cd(II)
sudah dapat diajukan kembali kepada Program Studi Kimia Fakultas Sains dan Teknologi UIN Sunan Kalijaga Yogyakarta sebagai salah satu syarat untuk memperoleh gelar Sarjana Strata Satu dalam Program Studi Kimia.

Dengan ini kami mengharap agar skripsi/tugas akhir Saudara tersebut diatas dapat segera dimunaqasyahkan. Atas perhatiannya kami menyampaikan terimakasih.

Wassalamu'alaikum wr.wb.

Yogyakarta, 15 Januari 2015

Pembimbing,



Khamidinal, M.Si

NIP. 19691104 200003 1 002

**SURAT PERSETUJUAN SKRIPSI/TUGAS AKHIR**

Hal : Nota Dinas Konsultan Skripsi
Lamp :-

Kepada
Yth. Dekan Fakultas Sains dan Teknologi
UIN Sunan Kalijaga Yogyakarta
di Yogyakarta

Assalamu'alaikum wr. wb.

Setelah membaca, meneliti, memberikan petunjuk dan mengoreksi serta mengadakan perbaikan seperlunya, maka kami selaku konsultan berpendapat bahwa skripsi Saudara:

Nama : Hargian Saputro
NIM : 10630023
Judul Skripsi : Sintesis Zeolit Dari Abu Dasar Batubara Dengan Variasi Waktu
Kalsinasi Secara Hidrotermal Dan Uji Adsorpsi Terhadap Logam Cd (II)

sudah dapat diajukan kembali kepada Program Studi Kimia Fakultas Sains dan Teknologi UIN Sunan Kalijaga Yogyakarta sebagai salah satu syarat untuk memperoleh gelar Sarjana Strata Satu dalam bidang kimia.

Wassalamu'alaikum wr. wb.

Yogyakarta, 6 Februari 2015
Konsultan


Irwan Nugraha, M.Sc
1982/329 201101 1 005

**SURAT PERSETUJUAN SKRIPSI/TUGAS AKHIR**

Hal : Nota Dinas Konsultant Skripsi
Lamp :-

Kepada
Yth. Dekan Fakultas Sains dan Teknologi
UIN Sunan Kalijaga Yogyakarta
di Yogyakarta

Assalamu'alaikum wr. wb.

Setelah membaca, meneliti, memberikan petunjuk dan mengoreksi serta mengadakan perbaikan seperlunya, maka kami selaku konsultan berpendapat bahwa skripsi Saudara:

Nama : Hargian Saputro
NIM : 10630023
Judul Skripsi : Sintesis Zeolit Dari Abu Dasar Batubara Dengan Variasi Waktu
Kalsinasi Secara Hidrotermal Dan Uji Adsorpsi Terhadap Logam Cd (II)

sudah dapat diajukan kembali kepada Program Studi Kimia Fakultas Sains dan Teknologi UIN Sunan Kalijaga Yogyakarta sebagai salah satu syarat untuk memperoleh gelar Sarjana Strata Satu dalam bidang kimia.

Wassalamu'alaikum wr. wb.

Yogyakarta, 6 Februari 2015

Konsultan

Endaruji Sedayadi, M.Sc

SURAT PERNYATAAN KEASLIAN SKRIPSI

Yang bertanda tangan di bawah ini :

Nama : Hargian Saputro
NIM : 10630023
Jurusan : Kimia
Fakultas : Sains dan Teknologi UIN Sunan Kalijaga

Menyatakan dengan sesungguhnya dan sejurnya, bahwa skripsi saya yang berjudul :

Sintesis Zeolit dari Abu Dasar Batubara dengan Variasi Waktu Kalsinasi

Secara Hidrotermal Dan Uji Adsorpsi Terhadap Logam Cd(II)

Adalah asli hasil penelitian saya sendiri dan bukan plagiasi hasil karya orang lain.

Yogyakarta, 16 Januari 2015

Yang menyatakan



Hargian Saputro

NIM. 10630023



Universitas Islam Negeri Sunan Kalijaga

FM-UINSK-BM-05-07/R0

PENGESAHAN SKRIPSI/TUGAS AKHIR

Nomor : UIN.02/D.ST/PP.01.1/469/2015

Skripsi/Tugas Akhir dengan judul : Sintesis Zeolit dari Abu Dasar Batubara dengan Variasi Waktu Kalsinasi Secara Hidrotermal dan Uji Adsorpsi Terhadap Logam Cd(II)

Yang dipersiapkan dan disusun oleh
Nama : Hargian Saputro
NIM : 10630023
Telah dimunaqasyahkan pada : 29 Januari 2015
Nilai Munaqasyah : A -
Dan dinyatakan telah diterima oleh Fakultas Sains dan Teknologi UIN Sunan Kalijaga

TIM MUNAQASYAH :

Ketua Sidang

Khamidinal, M.Si
NIP.19691104 200003 1 002

Pengaji I

Irwan Nugraha, M.Sc
NIP.19820329 201101 1 005

Pengaji II

Endaruji Sedyadi, M.Sc

Yogyakarta, 6 Februari 2015

UIN Sunan Kalijaga
Fakultas Sains dan Teknologi
Pd. Pekan



MOTTO

“Sesungguhnya bersama kesulitan ada kemudahan”

(QS. Alam Nasyroh: 5)

“Allah senantiasa menolong seorang hamba selama hamba tersebut menolong saudaranya”

(HR. Muslim)

“Ada yang mengeluh ingin gugur dan jatuh, lalu berkata lelah. Ada yang lelah, tubuhnya penat, tapi semangatnya kuat dan dia berkata LILLAH”

(Anonim)

“Hidup adalah perjalanan singkat yang penuh perjuangan ”

“Kegagalan adalah bumbu dari sebuah perjuangan”

“Ngono yo ngono, tur ojo ngono”

(Pepatah jawa)

“You’ll never walk alone ”

PERSEMBAHAN

Karya ini aku persembahkan untuk:

Allah SWT atas segala Rahmat dan Karunia-Nya

Karya ini juga aku peruntukkan kepada :

Bapak, Ibu dan Adik atas dukungan dan doa selama ini

Seluruh sahabat yang telah membantu dalam penyelesaian tugas
akhir ini

Almamaterku...

Prodi Kimia, Fakultas Sains dan Teknologi
Universitas Islam Negeri Sunan Kalijaga Yogyakarta

KATA PENGANTAR



Alhamdulillah puji syukur penulis panjatkan kehadirat Allah SWT atas segala limpahan nikmat, rahmat, rezeki, inayah dan karunia-Nya, sehingga penulisan skripsi ini dapat terselesaikan. Shalawat dan salam semoga senantiasa tercurah limpahkan kepada junjungan Nabi Muhammad SAW, Nabi yang menjadi sauri tauladan bagi kita semua.

Dalam penulisan skripsi ini tidak terlepas dari semua pihak yang telah memberikan bimbingan, bantuan, saran, dan nasihat. Oleh karena itu, pada kesempatan ini penulis mengucapkan terimakasih kepada:

1. Bapak Prof. Drs. H. Akh. Minhaji, MA, Ph.D., selaku Dekan Fakultas Sains dan Teknologi UIN Sunan Kalijaga Yogyakarta.
2. Ibu Esti Wahyu Widowati, M.Si., M.Biotech., selaku Ketua Program Studi Kimia Fakultas Sains dan Teknologi UIN Sunan Kalijaga Yogyakarta.
3. Bapak Khamidinal, M.Si., selaku dosen pembimbing skripsi yang telah memberikan bimbingan, saran, dan masukan selama proses penulisan skripsi.
4. Ibu Maya Rahmayanti, M.Si. selaku dosen pembimbing akademik.
5. Dosen Program Studi Kimia Fakultas Sains dan Teknologi UIN Sunan Kalijaga Yogyakarta yang telah memberikan ilmu selama perkuliahan.
6. Seluruh staf karyawan Fakultas Sains dan Teknologi UIN Sunan Kalijaga Yogyakarta yang telah membantu dalam urusan administrasi.

7. Bapak A. Wijayanto, S.Si., Bapak Indra Nafiyanto, S.Si., dan Ibu Isnin Gustanti, S.Si selaku Laboran Laboratorium Kimia yang telah melayani dan mengajari cara pemakaian peralatan Laboratorium selama proses penelitian.
8. Ibu, bapak, adik dan keluarga besar yang selalu mendo'akan. Terima kasih yang tak terhingga atas segala dukungannya selama ini.
9. Rekan-rekan seperjuangan penelitian (Tofidul Lukman, Willy A, Novi S, Putri Apriana, Muh Nor Salman, dan Ratu Paramita) yang telah membantu dan bekerjasama selama proses penelitian.
10. Teman-teman Program Studi Kimia angkatan 2010. Terima kasih atas kerjasama dan kebersamaannya selama ini.
11. Siti Mahmudha. Terimakasih atas doanya untuk kelancaran penelitian ini.
12. Semua pihak yang telah banyak membantu selama perkuliahan maupun penelitian. Semoga kebaikan kalian dibalas oleh Allah S.W.T.

Kesempurnaan hanya milik Allah S.W.T. Dengan segala rendah hati penulis sangat mengharapkan kritik dan saran dari pembaca untuk melengkapi sebuah karya yang masih banyak kekurangan ini. Semoga karya tulis ini dapat menjadi sumber ilmu pengetahuan yang bermanfaat bagi kita semua.

Yogyakarta, Januari 2015

Penulis

DAFTAR ISI

	Halaman
HALAMAN JUDUL	i
HALAMAN PERSETUJUAN	ii
HALAMAN NOTA DINAS KONSULTAN	iii
HALAMAN PERNYATAAN KEASLIAN	v
HALAMAN PENGESAHAN	vi
MOTTO	viii
PERSEMBAHAN	ix
KATA PENGANTAR	x
DAFTAR ISI	xi
DAFTAR GAMBAR	xiii
DAFTAR TABEL	xiv
DAFTAR LAMPIRAN	xv
ABSTRAK	xvi
 BAB I PENDAHULUAN	
A. Latar Belakang	1
B. Batasan Masalah	3
C. Rumusan Masalah	3
D. Tujuan Penelitian	4
E. Manfaat Penelitian	4
 BAB II TINJAUAN PUSTAKA DAN LANDASAN TEORI	
A. Tinjauan Pustaka	5
B. Landasan Teori	7
1. Abu Dasar Batubara	7
2. Kalsinasi	9
3. Zeolit	9
4. Sintesis Zeolit	12
5. <i>X-Ray Fluorescence (XRF)</i>	16
6. Spektroskopi FTIR	16
7. <i>X-Ray Diffraction (XRD)</i>	17
8. <i>Atomic Absorption Spectroscopy (AAS)</i>	19
9. Adsorpsi	21
10. Isoterm Adsorpsi	22
11. Kinetika Adsorpsi	24
12. Logam Kadmium (Cd)	25

BAB III METODE PENELITIAN	
A. Waktu dan Tempat Penelitian	27
B. Alat-alat Penelitian	27
C. Bahan-bahan Penelitian	27
D. Cara Kerja Penelitian	28
1. Preparasi Awal Abu Dasar Batubara dan Kalsinasi	28
2. Peleburan dengan NaOH	28
3. Sintesis Zeolit	28
4. Uji Adsorpsi Logam Cd	29
a. Penentuan pH Optimum	29
b. Penentuan Waktu Kontak Optimum	29
c. Penentuan Konsentrasi Awal Larutan Cu(II)	30
BAB IV HASIL DAN PEMBAHASAN	
A. Karakterisasi XRF (<i>X-Ray Fluorescence</i>) pada Abu Dasar	31
B. Karakterisasi FTIR	32
C. Karakterisasi XRD	35
1. Abu dasar	36
2. Zeolit sintesis	37
D. Uji Adsorpsi Logam Cd	41
1. Penentuan pH optimum	41
2. Penentuan waktu kontak optimum	42
3. Penentuan konsentrasi optimum	43
E. Kinetika Adsorpsi	45
F. Isoterm Adsorpsi	47
BAB V KESIMPULAN DAN SARAN	
A. Kesimpulan	51
B. Saran	51
DAFTAR PUSTAKA	52
LAMPIRAN	57

DAFTAR GAMBAR

Halaman

Gambar 2.1	Struktur umum kerangka dasar zeolit (a) TO_4 tetrahedral tunggal (b) TO_4 tetrahedral yang dihubungkan oleh atom oksigen	10
Gambar 2.2	Komponen-komponen sebuah AAS.....	20
Gambar 2.3	Pengaruh pH terhadap spesiasi logam Cd.....	26
Gambar 4.1	Spektra FTIR dari zeolit hasil sintesis dengan variasi waktu kalsinasi 2 jam (ZK2), 4 jam (ZK4) dan 6 jam (ZK6)	33
Gambar 4.2	Difraktogram abu dasar batubara	36
Gambar 4.3	Perbandingan pola difraksi sinar-x dari zeolit hasil sintesis yaitu ZK2, ZK4 dan ZK6	38
Gambar 4.4	Grafik pengaruh pH larutan terhadap absorpsi logam Cd...	41
Gambar 4.5	Grafik pengaruh waktu kontak terhadap adsorpsi logam Cd	43
Gambar 4.6	Grafik hubungan antara konsentrasi awal larutan Cd dengan % adsorpsi	44
Gambar 4.7	Grafik kinetika adsorpsi pseudo orde pertama	45
Gambar 4.8	Grafik kinetika adsorpsi pseudo orde kedua	45
Gambar 4.9	Grafik isoterm Langmuir pada adsorben: (a) abu dasar dan (b) zeolit sintesis.....	48
Gambar 4.10	Grafik isoterm Freundlich pada adsorben: (a) abu dasar dan (b) zeolit sintesis.....	49

DAFTAR TABEL

Halaman

Tabel 2.1	Unsur – unsur kimia abu dasar	8
Tabel 4.1	Komposisi kimia pada abu dasar batubara Madukismo	31
Tabel 4.2	Interpretasi spektra IR dan jenis vibrasi dari zeolit sintesis pada daerah IR-tengah	34
Tabel 4.3	Interpretasi spektra IR dan jenis vibrasi dari zeolit sintesis pada daerah bilangan gelombang 1600 cm^{-1} - 4000 cm^{-1}	35
Tabel 4.4	Interpretasi data XRD dari sampel abu dasar batubara	37
Tabel 4.5	Interpretasi data XRD zeolit sintesis	40
Tabel 4.6	Model kinetika adsorpsi abu dasar dan zeolit sintesis	46
Tabel 4.7	Model isoterm adsorpsi abu dasar dan zeolit sintesis.....	50

DAFTAR LAMPIRAN

Halaman

Lampiran 1. Perhitungan Kadar Karbon	57
Lampiran 2. Perhitungan Variasi pH	58
Lampiran 3. Perhitungan Pada Variasi Waktu Kontak dan Penentuan Pseudo Orde Reaksi	60
Lampiran 4. Perhitungan Pada Variasi Waktu Kontak dan Penentuan Isoterm Adsorpsi	64
Lampiran 5. Hasil Karakterisasi Abu Dasar Menggunakan XRD	71
Lampiran 6. Hasil Karakterisasi Zeolit Sintesis Menggunakan FTIR dan XRD	72
Lampiran 7. JCPDS untuk Kuarsa, Mulit, Hematit, Zeolit A, Zeolit X, Zeolit Y dan Zeolit Faujasit	76
Lampiran 8. Dokumentasi Penelitian	80

ABSTRAK

SINTESIS ZEOLIT DARI ABU DASAR BATUBARA DENGAN VARIASI WAKTU KAL SINASI SECARA HIDROTERMAL DAN UJI ADSORPSI TERHADAP LOGAM Cd (II)

Oleh:

Hargian Saputro

10630023

Dosen Pembimbing: Khamidinal, M.Si

Sintesis zeolit dari abu dasar batubara dengan metode peleburan-hidrotermal untuk adsorpsi logam Cd telah dilakukan. Tujuan dari penelitian ini adalah untuk mengetahui pengaruh waktu kalsinasi abu dasar terhadap zeolit yang dihasilkan, serta mengetahui kapasitas adsorpsinya terhadap logam Cd.

Abu dasar yang digunakan sebagai bahan utama untuk sintesis zeolit dikarakterisasi menggunakan XRF dan XRD, kemudian dikalsinasi selama 2, 4, dan 6 jam. Sintesis zeolit dilakukan melalui peleburan menggunakan NaOH (rasio abu dasar/NaOH 1:1,2) pada suhu 750 °C selama 1 jam. Kristalisasi hidrotermal dilakukan pada suhu 100 °C selama 24 jam. Zeolit yang dihasilkan dikarakterisasi menggunakan FTIR dan XRD. Uji adsorpsi logam Cd menggunakan abu dasar dan zeolit hasil sintesis. Uji adsorpsi yang dilakukan adalah penentuan pH optimum, penentuan waktu kontak optimum dan penentuan konsentrasi optimum. Selain itu, dikaji pula aspek kinetika dan isoterm adsorpsinya.

Hasil penelitian menunjukkan bahwa abu dasar mengandung kuarsa (SiO_2) dan mulit (Al_2O_3) ($\text{Si}/\text{Al}=1,50$). Produk hidrotermal menunjukkan adanya serapan IR spesifik zeolit pada bilangan gelombang $987,55 \text{ cm}^{-1}$ ($\text{O}-\text{Si}-\text{O}/\text{O}-\text{Al}-\text{O}$) dan $439,77 \text{ cm}^{-1}$ ($\text{Si}-\text{O}/\text{Al}-\text{O}$). Hasil karakterisasi menggunakan XRD menunjukkan telah terbentuk zeolit A, zeolit faujasit, zeolit X, dan zeolit Y. Persen adsorpsi optimum adsorpsi Cd yaitu pada pH 6, waktu 45 menit, dan konsentrasi 100 mg/L untuk abu dasar dan pH 5, waktu 60 menit, konsentrasi 100 mg/L untuk zeolit sintesis. Kinetika adsorpsi Cd pada zeolit dan abu dasar mengikuti model pseudo orde kedua, dengan konstanta laju (k_2) masing-masing $0,004 \text{ g/mg.menit}^{-1}$ dan $0,007 \text{ g/mg.menit}^{-1}$. Isoterm adsorpsi zeolit dan abu dasar terhadap Cd mengikuti model Langmuir dengan kapasitas adsorpsi maksimum (q_{\max}) masing-masing $1,219 \times 10^{-3} \text{ mol/g}$ dan $1,085 \times 10^{-3} \text{ mol/g}$.

Kata Kunci:Abu dasar, kalsinasi, zeolit, peleburan-hidrotermal, logam Cd(II)

BAB I

PENDAHULUAN

A. Latar Belakang

Dewasa ini penggunaan batubara sebagai energi alternatif selain minyak dan gas bumi terus meningkat. Berbagai kalangan mulai beralih menggunakan batubara seiring dengan naiknya harga minyak dunia, seperti industri semen, industri tekstil, PLTU dan lain lain. Tingginya konsumsi batubara didukung dengan banyaknya sumber daya batubara di Indonesia.

Penggunaan batubara dapat menghasilkan limbah yang dapat mencemari lingkungan. Dampak lingkungan dari penggunaan bahan bakar batubara ini adalah pelepasan abu sisa pembakaran baik berupa abu dasar (*bottom ash*) maupun abu layang (*fly ash*). Abu layang adalah abu yang dihasilkan dari transformasi, pelelehan atau gasifikasi dari material anorganik yang terkandung dalam batubara (Molina dan Poole, 2004), sedangkan abu dasar adalah abu yang terbentuk di bawah tungku pembakaran. Pada satu proses pembakaran batubara dapat dihasilkan abu layang sekitar 90% dan abu dasar sekitar 10% (Supriatna, 2003).

Beberapa penggunaan abu yang didapatkan dari limbah batu bara adalah untuk pelapis dasar jalan raya, pengisi untuk bahan tambang dan galian, serta material bahan bangunan. Selain itu usaha lain dalam meningkatkan nilai tambah dari abu tersebut adalah mengubahnya menjadi zeolit. Zeolit memiliki bentuk kristal yang sangat teratur dengan rongga yang saling berhubungan ke segala arah yang menyebabkan luas permukaan zeolit sangat besar sehingga sangat baik digunakan sebagai adsorben (Sutarti dan Rachmawati, 1994).

Penelitian untuk mengubah limbah abu layang menjadi zeolit telah banyak dilakukan. Berbagai jenis zeolit yang telah disintesis diantaranya adalah zeolit faujasit (Mondragon dkk., 1990), zeolit P dan Hidroksi-Sodalit (Berkgaut dan Singer,1996), Zeolit A (Nikmah dkk, 2009) dan zeolit NaP1 (Hollman dkk., 1999). Alasan yang mendasari hal ini adalah karena kandungan SiO_2 dan Al_2O_3 yang tinggi pada abu layang (50-75 %) dibandingkan pada abu dasar (30-50 %). Dua jenis mineral tersebut mempunyai komponen dasar untuk pembuatan zeolit.

Pemanfaatan abu dasar sebagai bahan dasar pembuatan zeolit belum banyak dilakukan karena rendahnya kandungan SiO_2 dan Al_2O_3 . Selain rendahnya kandungan SiO_2 dan Al_2O_3 , alasan masih minimnya penggunaan abu dasar dalam sintesis zeolit adalah abu dasar masih mengandung banyak sisa karbon yang dapat mengganggu dalam proses pembentukan zeolit (Nikmah dkk, 2009). Salah satu cara penghilangan karbon tersebut adalah dengan kalsinasi yaitu perlakuan panas terhadap satu bahan pada suhu yang relatif tinggi dalam tungku pemanas (Susanto, 2008).

Terdapat beberapa metode dalam sintesis zeolit, salah satunya adalah metode peleburan hidrotermal. Shigemoto dan Hayashi (1995) mengatakan bahwa sintesis zeolit melalui metode peleburan dilanjutkan dengan proses hidrotermal secara signifikan dapat meningkatkan proses pembentukan zeolit dibandingkan dengan metode alkali hidrotermal. Selain itu, zeolit yang dihasilkan memiliki kristalinitas yang tinggi.

Logam kadmium (II) merupakan ion logam berat yang berpotensi sebagai polutan bagi lingkungan perairan sehingga perlu diupayakan untuk

menurunkan kadarnya. Menurut Pearson (Shriver, 1990), ion Cd(II) adalah asam lunak sehingga lebih suka berinteraksi dengan basa lunak. Adsorpsi logam Cd dengan berbagai padatan baik alam maupun sintetik merupakan metode sederhana yang sering digunakan.

Berdasarkan uraian di atas maka pada penelitian ini dilakukan sintesis zeolit dari abu dasar batubara dengan metode peleburan hidrotermal dan uji adsorpsinya terhadap logam Cd(II).

B. Batasan Masalah

1. Abu dasar batubara yang digunakan berasal dari Pabrik Spiritus Madukismo Yogyakarta.
2. Metode yang digunakan pada sintesis zeolit adalah metode Peleburan Hidrotermal.
3. Variasi waktu kalsinasi abu dasar yang digunakan adalah 2 jam, 4 jam dan 6 jam.
4. Jenis basa yang digunakan adalah NaOH.
5. Jenis karakterisasi yang digunakan adalah karakterisasi gugus fungsional menggunakan Spektrofotometer FT-IR dan uji kristalinitasnya menggunakan Difraktometer Sinar-X.
6. Uji adsorpsi logam Cd(II) menggunakan Spektrofotometer Serapan Atom (SSA).

C. Rumusan Masalah

1. Bagaimana karakteristik zeolit hasil sintesis dari abu dasar batubara?

2. Bagaimana pengaruh variasi waktu kalsinasi abu dasar terhadap hasil sintesis zeolit?
3. Bagaimana kapasitas adsorpsi zeolit hasil sintesis terhadap logam Cd(II)?

D. Tujuan Penelitian

1. Untuk mengetahui karakteristik zeolit hasil sintesis dari abu dasar batubara.
2. Untuk mengetahui pengaruh variasi waktu kalsinasi abu dasar terhadap hasil sintesis zeolit.
3. Mengetahui kapasitas adsorpsi zeolit hasil sintesis terhadap logam Cd.

E. Manfaat Penelitian

1. Secara teoritis dapat memberikan informasi mengenai sintesis zeolit dari abu dasar batubara menggunakan variasi waktu kalsinasi abu dasar dengan metode Peleburan Hidrotermal dan uji adsorpsinya terhadap logam Cd(II).
2. Zeolit hasil sintesis diharapkan dapat diaplikasikan dalam adsorpsi limbah logam Cd(II).

BAB V **KESIMPULAN DAN SARAN**

A. Kesimpulan

1. Sintesis zeolit dari abu dasar batubara dengan metode peleburan hidrotermal telah berhasil dilakukan dan didapatkan material zeolit yang mengandung zeolit A, zeolit faujasit, zeolit X dan zeolit Y.
2. Variasi waktu kalsinasi abu dasar sebagai bahan utama pembentukan zeolit berpengaruh terhadap intensitas difraksi dan homogenitas jenis kristal pada produk hidrotermal yang dihasilkan. Produk zeolit dengan homogenitas paling tinggi adalah ZK4 yaitu zeolit sintesis dengan waktu kalsinasi abu dasar selama 4 jam pada suhu 800 °C.
3. Pada penelitian ini didapatkan kapasitas adsorpsi maksimum dari zeolit terhadap logam Cd yaitu sebesar $1,219 \times 10^{-3}$ mol/g, lebih tinggi dari kapasitas adsorpsi maksimum dari abu dasar yang sebesar $1,085 \times 10^{-3}$ mol/g .

B. Saran

1. Perlu dilakukan penelitian lebih lanjut pada zeolit dari abu dasar batubara seperti dengan penambahan komposit pada zeolit yang dihasilkan.
2. Perlu dilakukan penelitian lebih lanjut terhadap karakteristik zeolit sintesis sebelum dan setelah adsorpsi menggunakan SEM

DAFTAR PUSTAKA

- Albert, R.A. dan Silbey, R.J. 1992. *Physical Chemistry*. New York: John Wiley
- Alfathoni, G. 2002. *Rahasia Untuk Mendapatkan Mutu Produk Karbon Aktif dengan Serapan Iodium di atas 1000mg/g.* <http://www.tepatgunatek.com>. Diakses pada tanggal 8 Desember 2013.
- Anielak, Anna M dan Schmidt Rafal. 2011. Sorption of Lead and Cadmium Cations on Natural and Manganese-Modified Zeolite. *Polish J. of Environ.* 1. 20. 15-19
- Atkins, P.W. 1999. *Kimia Fisika*. Ed ke-4. Jakarta: Erlangga.
- Beiser, Arthur. 1995. *Concepts of Modern Physics*. 3rd Edition. Jakarta: Erlangga.
- Bekkum, H. V., Flanigen, E.M., Jansen, J.C. 1991. *Introduction to Zeolite Science Ana Practice*. Amsterdam: Elsevier Science Publishers B.V.
- Berkgaut, V dan Singer, A., 1996. High capacity cation exchanger by hydrothermal zeolitization of coal fly ash. *Applied Clay Science*. 13. 117 – 135.
- Canpolat, F., Yilmaz, K., Köse, M.M., Sümer, M., dan Yurdusev, M.A. 2003. Use of Zeolite, Coal Bottom Ash and Fly Ash as Replacement Materials in Cement Production. *Cement and Concrete Research*. 23-24. 1-5.
- Chandrasekar, S. dan Pramada, P.N. 2008. Microwave Assisted Synthesis of Zeolite A from Metakaolin. *Microporous and Mesoporous Materials*. 108. 152–161.
- Chang, H.L., dan Shin, W.H. 1998. A General Methods for the Conversion of Fly Ash Into Zeolits as Ion Exchangers for Cesium. *Ind. Eng. Chem. Res.* 37. 1. 71-78.
- Chatwall,G. 1985. *Spectroscopy Atomic and Molecule*. Bombay :Himalaya Publishing House
- Chetam, D., A.. 1992. *Solid State Compound*. Oxford:Oxford university Press

- Chiang, Y.W., Ghyselbrecht, K., Santos, R.M., Meesschaert, B., Martens, J.A. 2012. Synthesis of zeolitic-type adsorbent material from municipal solid waste incinerator bottom ash and its application in heavy metal adsorption. *Catalysis Today.* 190. 23-30
- Darwanta. 1997. Kajian Penambahan Al(OH)_3 dalam Sintesis Zeolit 4A dari Abu Layang Batubara. *Skripsi.* Yogyakarta: Jurusan Kimia Fakultas MIPA UGM.
- Ewing, G.W. 1985. *Instrumental Method of Chemical Analysis.* Singapore: McGraw-Hill Inc.
- Faust, Samuel.D., dan Aly, Oesman.A. 1987. *Adsorption Processes for Water Treatment.* Stoneham: Butterworth Publishers. ISBN: 0-409-90000-1.
- Flanigen, E. M., H. Khatami., H. A. Szymanski. 1971. "Infrared Structural Studies of Zeolite Framework, Molecular Sieve Zeolite-I". *American Society Advanced in Chemistry Serise.* 101. 201 – 227.
- Flanigen, E.M., Broach, R.W. dan Wilson, S.T. 2010. *Zeolites in Industrial Separation Ana Catalysis.* Weinheim: Wiley-VCH GmbH & Co. KGaA
- Gadd, G.M. 2000. Bioremidial Potential of Microbial Mechanism of Metal Mobilization an Immobilization. *Current Opinion in Biotechnology.* 11. 271-279
- Hamdan, H. 1992. *Introduction to Zeolits: Synthesis, Characterization, and Modification.* Kuala Lumpur: University Teknologi. Malaysia
- Hammond, C. 1997. *The Basics of Crystallography and Diffraction.* Oxford: Oxford University Press.
- Harmita. 2006. *Analisis Fisika Kimia.* Jakarta: Departemen Farmasi FMIPA-UI
- Ho, Y. S., dan McKay, G. 1999. Pseudo-second Order Model for Sorption Processes. *Pro. Biochem.* 34. 451-465.
- Ho, Y.S. and McKay, G. 2000. The kinetics of sorption of divalent metal ions onto sphagnum moss peat. *Water Research.* 34. 3. 735-742.
- Hollman, G. G., Sreenbruggen, G., Janssen-Jurcovicova, M..1999. A Two Step Process for Synthesis of Zeolit from Coal Fly Ash. *Fuel.* 78. 1225-1230.

- Izidoro, Juliana de Carvalho, Fungaro, Denise Alves dan Wang, Shaobin. 2012. Zeolite synthesis from Brazilian coal fly ash for removal of Zn²⁺ and Cd²⁺ from water. *Advanced Materials Research*. 356-360. 1900-1908
- James, S. R., 1988. *Introduction to The Principles of Ceramics Processing*. Singapore: John Wiley&Son
- Karthikeyan, G., Anbalagan, K., Andal, N.M. 2004. Adsorption Dynamics and equilibrium Studies of Zn(II) onto Chitosan. *Indian J. Chem. Sci.* 116. 2. 119-127.
- Khopkar. 2003. *Konsep Dasar Kimia Analitik*. Jakarta:Universitas Indonesia.
- Liu, Y., X. Chang, S. Wang, Y. Guo, B. Din, and S. Meng. 2004. Solid-phase extraction and preconcentration of cadmium(II) in aqueous solution with Cd(II)-imprinted resin (poly-Cd(II)-DAAB-VP) packed columns. *Analytica Chimica Acta*. 519. 2. 173-179.
- Londar Everista., Fansuri, Hamzah., dan Widiastuti, Nurul (2009). Pengaruh Karbon Terhadap Pembentukan Zeolit Dari Abu Dasar Dengan Metode Hidrotermal Langsung. *Makalah Seminar Nasional Kimia*. Fakultas Matematika dan Ilmu Pengetahuan Alam. Institut Teknologi Sepuluh Nopember. Surabaya. Hal:71.
- Lucia, R., Martin, P., dan Eva, F. 2014. Radiocesium Adsorption by Zeolitic Materials Synthesized from Coal Fly Ash. *Nova Biolotechnica et Chimica* (2014) 13-1.
- Masel, Richard. 1996. *Principles of Adsorption and Reaction on Solid Surface*. New York:John Wiley and Sons Inc
- Molina, A. dan Poole, C. (2004). A Comparative StudyUsing Two Methods To Produce Zeolites from Fly Ash. *Mineral Engineering*. 17. 167-173.
- Mondragon, F., Rincon, F., Sierra, L., Escobar, J., Ramirez dan John, F.1990. New Perspectives for Coal Ash Utilization: Synthesis of Zeolitic Materials. *Fuel*. 69
- Nikmah. S. R.A., Fansuri. H., Widiastuti. 2009. Pengaruh Suhu Hidrotermal pada Sintesis Zeolit dari Abu Dasar Bebas Sisa Karbon Secara Hidrotermal Langsung. *Makalah Seminar Nasional Kimia*. Fakultas Matematika dan Ilmu Pengetahuan Alam. Institut Teknologi Sepuluh Nopember. Surabaya. Hal:177.
- Ojha, K., Sig, Y., dan Wha, S.A. 2004. Zeolit from fly ash: synthesis and characterization, bull, mater. *Indian Academy of Sciences*. 27. 555-564.

- Oscik, J. 1991. *Adsorbtion, Edition Cooper.* New York :John Wiley and Sons.
- Pacyna, J. M. 1987. *Atmospheric emissions of arsenic, cadmium, lead and mercury from high temperature processes in power generation and industry.* In : *Lead, Mercury, Cadmium and Arsenic in The Environment.* John Willy & Sons
- Palar, Heryando. 1994. *Pencemaran dan Toksikologi Logam Berat.* Jakarta: PT. Rineka Cipta
- Pena. 2006. Hydrothermal Treatment of Bottom Ash from The Incineration of Municipal Solid Waste: Retention of Cs(I), Cd(II), Pb(II) and Cr(III). *J. Hazard Mater. B.* 129. 151-157.
- Shigemoto, N.Hayashi, H., Miyaura, K. 1993. Selective formation of Na-X Zeolite From Coal Fly Ash by Fusion With Sodium Hidroxidde Prior to Hydrothermal Reaction. *J. Mater. Sci.* 28. 4781-4786.
- Skoog, O.A. 1985. *Principles of Instrumental Analysis. Edisi 3.* USA: Sounders Collage Publishing.
- Supriatna, Uus. 2003. *Dokumen Upaya Pengelolaan Lingkungan dan Upaya Pengelolaan Lingkungan PLTU.* PT Indorama Synthetics: Purwakarta
- Surjaatmaja, V., Winandyo, M., Dan Setia, B.S. 2013. Pemisahan Karbon Tidak Terbakar dari Abu Terbang dengan Menggunakan Sistem Dissolved Air Flotation (DAF) untuk Meningkatkan Kualitas Abu Terbang. *Jurnal Teknologi Kimia dan Industri.* 2. 3. 115-120.
- Sutarti, Mursi dan Rachmawati. 1994. *Zeolit: Tinjauan Literatur.* Jakarta :LIPI
- Underwood, A.L. dan Day, R.A.1992. *Kimia Analisis kuantitatif.* Jakarta: Erlangga
- Vaughan, D. 1999. *Crystal Engineering: The Design and Application of Functional Solid.* Kluwer. Netherlands: Academic Publishers.
- Wahyuni, S dan Widiastuti, N. 2010. *Adsorpsi Ion Logam Zn(II) Pada Zeolit A Batch.* Fakultas Matematika dan Ilmu Pengetahuan Alam. Institut Teknologi Sepuluh Nopember. Surabaya
- Warsito, Sri., M.Si, Sriatun., S.Si, Taslimah Dra. 2007. Pengaruh Penambahan Surfaktan Cetyltrimethylammonium bromide (n-CTMABr) Pada Zeolit-Y. *Kimia Anorganik.* Jurusan Kimia Fak. MIPA. Universitas Diponegoro. Semarang

West, A.R. 1984. *Solid State Chemistry and Its Applications*. John Wiley & Sons: New York. Pages: 41-43.

Widowati, W., Sastiono, A dan Jusuf R. 2008. *Efek Toksik Logam*. Yogyakarta: Andi

Xu, Ruren., Pang, Wenqill., Yu, Jihong., Huo, Qisheng., Chen, Jiesheng. 2007. *Chemistry of Zeolit and Related Porous Materials: Synthesis and Structure*. Singapore: John Wiley&Sons. ISBN: 978-0-470-82233-3.

Zakaria, Ahmad. 2011. Adsorpsi Logam Cu(II) Menggunakan Zeolit Sintesis dari Abu Terbang Batubara. *Tesis*. Bogor: Sekolah Pasca Sarjana. Institut Pertanian Bogor. Bogor

LAMPIRAN

Lampiran 1.Perhitungan Kadar Karbon

Diketahui : Massa abu dasar : 30 gram

Suhu kalsinasi : 900 °C

Waktu kalsinasi : 2 jam

Tabel 1. Hasil perhitungan massa karbon dalam abu dasar batubara dalam dua kali pengulangan

No	Wo (gram)	W ₁ (gram)	W ₂ (gram)	LOI (%)	Massa C hitung (gram)	Massa C hitung (%)
1	49,255	79,255	75,464	4,784	1,305	4,349
2	56,115	86,114	82,216	4,527	1,235	4,115
Rata-rata				4,656	1,270	4,232

Keterangan: Wo = Massa cawan kosong

W₁ = Massa cawan + abu dasar sebelum dikalsinasi

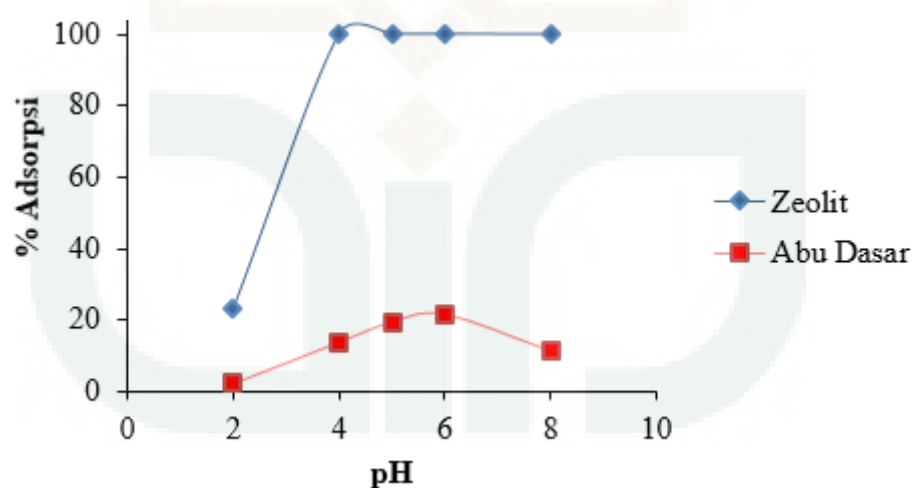
W₂ = Massa cawan + abu dasar setelah dikalsinasi

Lampiran 2.Perhitungan Pada Variasi pH

Volume larutan Cu(II) = 10 mL

Tabel 2. Hasil perhitungan pada variasi pH

Adsorben	pH	Co (mg/L)	Ce (mg/L)	Cu teradsorp (mg/L)	% Adsorpsi
Zeolit sintesis	2	107,183	82,181	25,002	23,327
	4	107,183	0,133	107,050	99,876
	5	107,183	0,068	107,115	99,937
	6	107,183	0,093	107,090	99,913
	8	107,183	0,164	107,019	99,847
Abu dasar	2	12,027	11,759	0,268	2,228
	4	12,027	10,371	1,656	13,769
	5	12,027	9,694	2,333	19,398
	6	12,027	9,435	2,592	21,552
	8	12,027	10,65	1,377	11,449

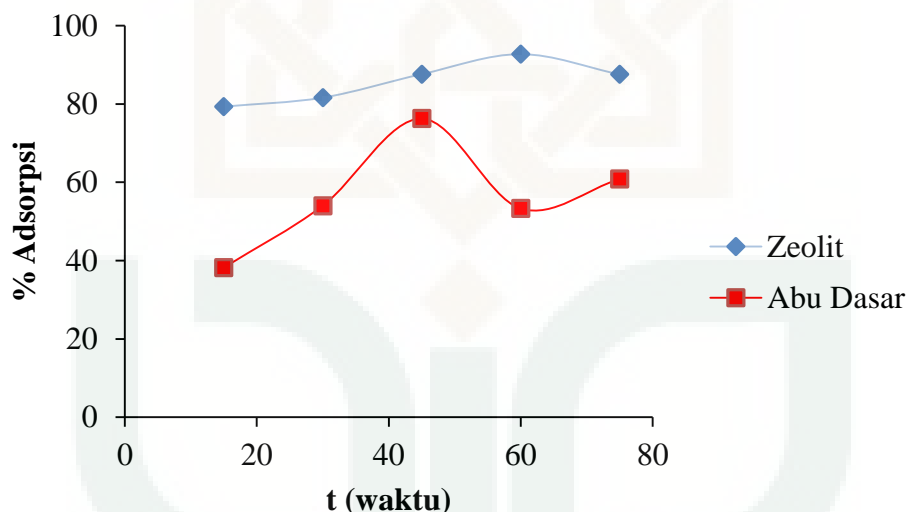


Gambar 1. Grafik hubungan antara pH dengan % adsorpsi

Lampiran 3. Perhitungan Pada Variasi Waktu Kontak dan Penentuan Pseudo Orde Reaksi

Tabel 3. Hasil perhitungan pada variasi waktu

Adsorben	Waktu (menit)	Volume (L)	Massa adsorben (gram)	Co (mg/L)	Ce (mg/L)	% Adsorpsi
Abu Dasar	15	0,01	0,01	31,312	11,948	38,158
	30	0,01	0,01	31,312	16,908	53,997
	45	0,01	0,01	31,312	23,884	76,279
	60	0,01	0,01	31,312	16,682	53,278
	75	0,01	0,01	31,312	19,049	60,837
Zeolit sintesis	15	0,01	0,01	88,100	29,373	79,300
	30	0,01	0,01	88,100	29,373	81,603
	45	0,01	0,01	88,100	29,373	87,603
	60	0,01	0,01	88,100	29,373	92,721
	75	0,01	0,01	88,100	29,373	87,539



Gambar 2. Grafik hubungan antara waktu kontak dengan % adsorpsi

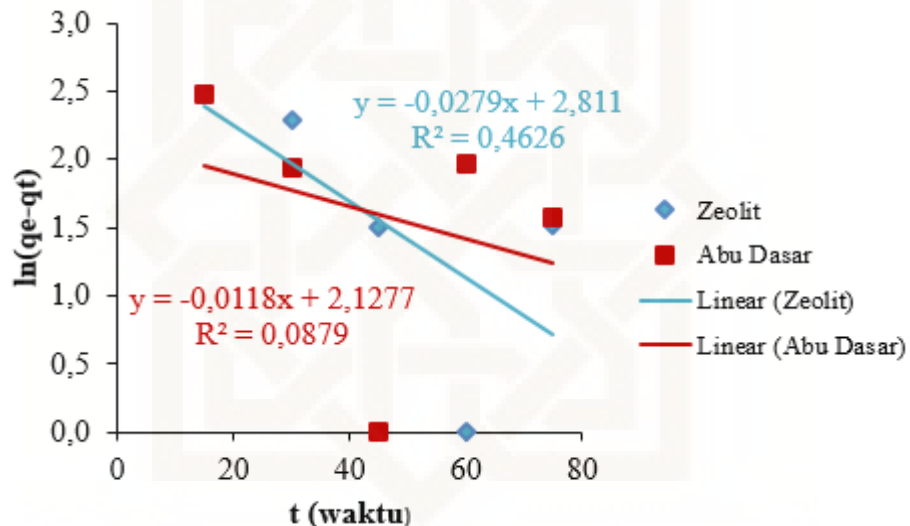
Tabel 4. Penentuan orde reaksi pada adsorben abu dasar

t (menit)	Co (mg/L)	Ce (mg/L)	qe (mg/g)	qt (mg/g)	qe-qt	ln (qe-qt)	t/qt
15	31,312	19,364	23,884	11,948	11,936	2,480	1,255
30	31,312	14,404	23,884	16,908	6,976	1,943	1,774
45	31,312	7,428	23,884	23,884	0,000	0,000	1,884
60	31,312	14,630	23,884	16,682	7,202	1,974	3,597
75	31,312	12,263	23,884	19,049	4,835	1,576	3,937

Tabel 5. Penentuan orde reaksi pada adsorben zeolit sintesis

Waktu (menit)	Co (mg/L)	Ce (mg/L)	qe (mg/g)	qt (mg/g)	qe-qt	ln(qe- qt)	t/qt
15	88,100	18,237	81,687	69,863	11,824	2,470	0,215
30	88,100	16,208	81,687	71,892	9,795	2,282	0,417
45	88,100	10,922	81,687	77,178	4,509	1,506	0,583
60	88,100	6,413	81,687	81,687	0,000	0,000	0,735
75	88,100	10,978	81,687	77,122	4,565	1,518	0,972

a. Kinetika Adsorpsi Pseudo Orde Pertama



Gambar 3. Grafik kinetika adsorpsi pseudo orde pertama

1. Adsorben Abu Dasar

Persamaan Lagergren:

$$\ln (q_e - q_t) = \ln q_e - k_1 t$$

$$\ln (q_e - q_t) = -k_1 t + \ln q_e$$

Persamaan garis lurus $y = -0,0118x + 2,1277$, maka:

$$y = \ln (q_e - q_t) \text{ (mg/g)}.$$

$$x = t \text{ (menit)}.$$

$$-k_1 = -0,0118$$

$$k_1 = 0,0118 \text{ menit}^{-1}.$$

$$\ln q_e = 2,1277$$

$$q_e = 8,396 \text{ mg/g.}$$

2. Adsorben Zeolit Sintesis

Persamaan Lagergren:

$$\ln (q_e - q_t) = \ln q_e - k_1 t$$

$$\ln (q_e - q_t) = -k_1 t + \ln q_e$$

Persamaan garis lurus $y = -0,0279x + 2,811$, maka:

$$y = \ln (q_e - q_t) \text{ (mg/g).}$$

$$x = t \text{ (menit).}$$

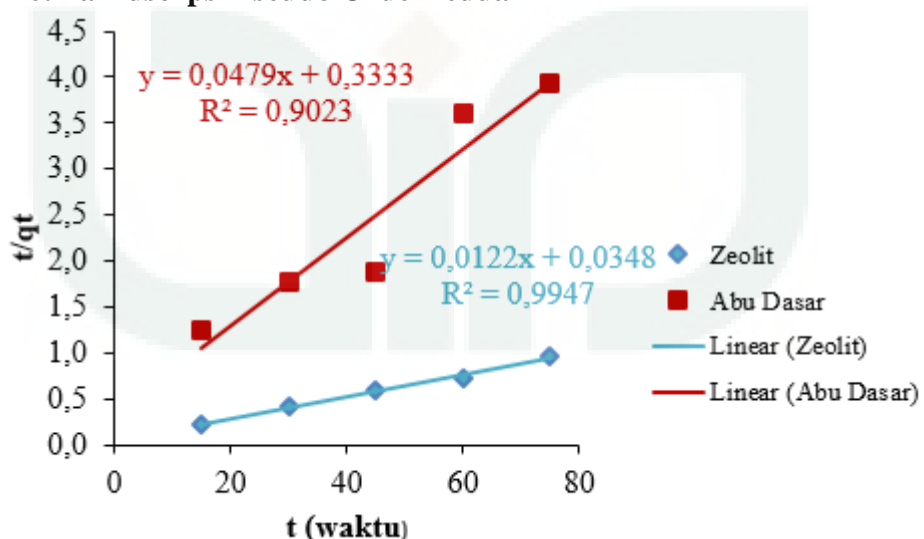
$$-k_1 = -0,0279$$

$$k_1 = 0,0279 \text{ menit}^{-1}.$$

$$\ln q_e = 2,811$$

$$q_e = 16,626 \text{ mg/g.}$$

b. Kinetika Adsorpsi Pseudo Orde Kedua



Gambar 4. Grafik kinetika adsorpsi pseudo orde kedua

1. Adsorben Abu Dasar

$$\frac{t}{q_t} = \frac{1}{k_2 q_e^2} + \frac{1}{q_e} t$$

$$\frac{t}{q_t} = \frac{1}{q_e} t + \frac{1}{k_2 q_e^2}$$

Persamaan garis lurus $y = 0,0479x + 0,3333$, maka:

$$y = \frac{t}{q_t} (\text{menit.g/mg})$$

$$x = t (\text{menit})$$

$$\frac{1}{q_e} = 0,0479$$

$$q_e = 20,876 \text{ mg/g.}$$

$$\frac{1}{k_2 q_e^2} = 0,3333$$

$$\frac{1}{k_2} \cdot \frac{1}{q_e^2} = 0,3333$$

$$\frac{1}{k_2} \cdot \frac{1}{(20,876)^2} = 0,3333$$

$$\frac{1}{(435,807)k_2} = 0,3333$$

$$k_2 = \frac{1}{(435,807)(0,3333)}$$

$$k_2 = 0,007 \text{ g/mg.menit}^{-1}$$

2. Adsorben Zeolit Sintesis

$$\frac{t}{q_t} = \frac{1}{k_2 q_e^2} + \frac{1}{q_e} t$$

$$\frac{t}{q_t} = \frac{1}{q_e} t + \frac{1}{k_2 q_e^2}$$

Persamaan garis lurus $y = 0,0122x + 0,0346$, maka:

$$y = \frac{t}{q_t} (\text{menit.g/mg})$$

$x = t$ (menit)

$$\frac{1}{q_e} = 0,0122$$

$$qe = 81,967 \text{ mg/g.}$$

$$\frac{1}{k_2 q_e^2} = 0,0346$$

$$\frac{1}{k_2} \cdot \frac{1}{q_e^2} = 0,0346$$

$$\frac{1}{k_2} \cdot \frac{1}{(81,967)^2} = 0,0346$$

$$\frac{1}{(6718,589)k_2} = 0,0346$$

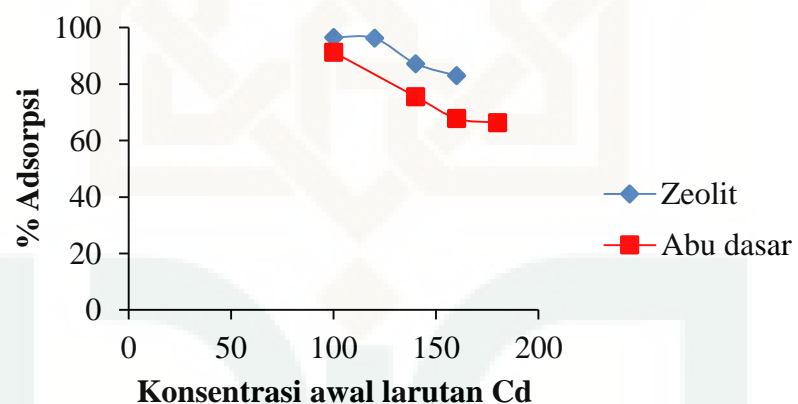
$$k_2 = \frac{1}{(6718,589)(0,0346)}$$

$$k_2 = 0,004 \text{ g/mg.menit}^{-1}$$

Lampiran 4. Perhitungan Pada Variasi Konsentrasi dan Penentuan Isoterm Adsorpsi

Tabel 6. Hasil perhitungan pada variasi konsentrasi

Adsorben	Co (mg/L)	Ce (mg/L)	Cu teradsorp (mg/L)	% Adsorpsi
Abu Dasar	100	8,669	91,331	91,331
	140	34,243	105,757	75,541
	160	51,490	108,510	67,819
	180	60,620	119,380	66,322
Zeolit sintesis	100	3,460	96,540	96,540
	120	4,497	115,503	96,253
	140	17,854	122,146	87,247
	160	27,210	132,790	82,994

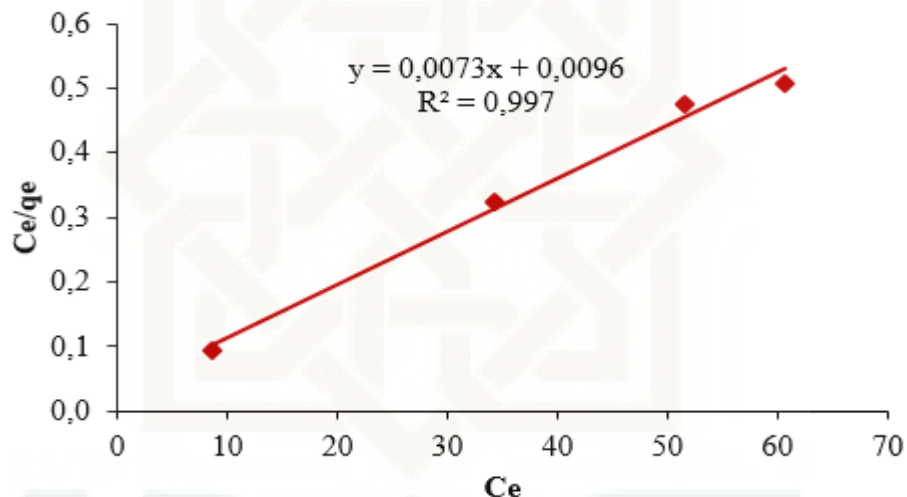


Gambar 5. Grafik hubungan antara konsentrasi awal larutan Cu dengan % adsorpsi

1. Adsorben Abu Dasar

Tabel 7. Penentuan isoterm adsorpsi pada adsorben abu dasar

Co (mg/L)	Ce (mg/L)	Volume larutan Cu (L)	Massa adsorben (gram)	qe (mg/g)	Ce/qe (mg/g)	log Ce	log qe
100	8,669	0,01	0,01	91,331	0,095	0,938	1,961
140	34,243	0,01	0,01	105,757	0,324	1,535	2,024
160	51,490	0,01	0,01	108,510	0,475	1,712	2,035
180	60,620	0,01	0,01	119,380	0,508	1,783	2,077



Gambar 6. Grafik isoterm Langmuir pada adsorben abu dasar

Persamaan Langmuir:

$$\frac{C_e}{q_e} = \frac{1}{q_{max}} C_e + \frac{1}{K_L q_{max}}$$

Persamaan garis lurus: $y = 0,0082x + 0,0327$

$$\text{Satuan slope} = \frac{dy}{dx} = \frac{C_e/q_e}{C_e} = \frac{\text{g/L}}{\text{mg/L}} = \text{g/mg}$$

$$\text{Slope} = \frac{1}{q_{max}} = 0,0082 \text{ g/mg}$$

$$q_{max} = 121,951 \text{ mg/g}$$

$$q_{max} = \frac{121,951 \text{ mg/g}}{112,411 \text{ g/mol}}$$

$$q_{\max} = 1,085 \text{ mmol/g} = 1,085 \times 10^{-3} \text{ mol/g}$$

$$\text{Satuan } intercept = \text{sumbu y} = \frac{C_e}{q_e} = \frac{\text{mg/L}}{\text{mg/g}} = \text{g/L}$$

$$Intercept = \frac{1}{K_L q_{\max}} = 0,0327 \text{ g/L}$$

$$\frac{1}{K_L} = \frac{0,0327 \text{ g/L}}{1/q_{\max}}$$

$$\frac{1}{K_L} = \frac{0,0327 \text{ g/L}}{0,0082 \text{ g/mg}}$$

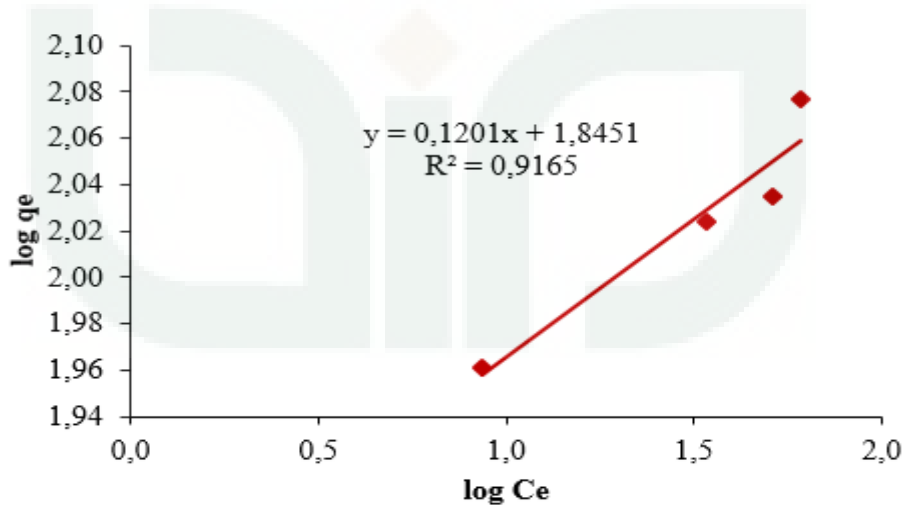
$$0,0327 \text{ g/L} \times K_L = 0,0082 \text{ g/mg}$$

$$K_L = \frac{0,0082 \text{ g/mg}}{0,0327 \text{ g/L}}$$

$$K_L = 0,251 \text{ mg/L}$$

$$K_L = \frac{0,251 \text{ mg/L}}{112,411 \text{ g/mol}}$$

$$K_L = 2,233 \times 10^{-6} \text{ mol/L}$$



Gambar 7. Grafik isoterm Freundlich pada adsorben abu dasar

Persamaan Freundlich:

$$\log q_e = \frac{1}{n} \log C_e + \log K_F$$

Persamaan garis lurus : $y = 0,1201x + 1,8451$

$$Slope = \frac{1}{n} = 0,1201$$

$$n = 8,326$$

$$n = \frac{8,326 \text{ g/L}}{112,411 \text{ g/mol}}$$

$$n = 0,074 \text{ mol/L}$$

$$Intercept = qe = mg/g$$

$$\log K_F = 1,8451$$

$$K_F = 10^{1,8541}$$

$$K_F = 70$$

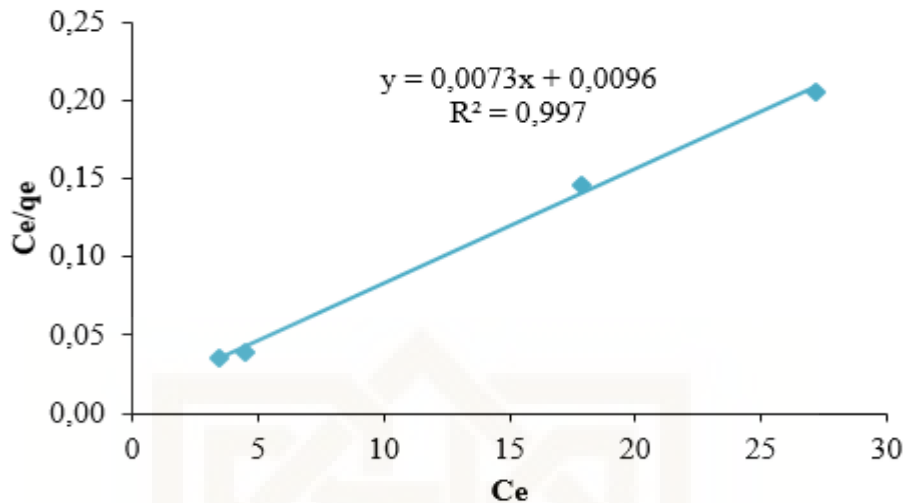
$$K_F = \frac{70}{112,411}$$

$$K_F = 0,623 \times 10^{-3}$$

2. Adsorben Zeolit Sintesis

Tabel 8. Penentuan isoterm adsorpsi pada adsorben zeolit sintesis

Co (mg/L)	Ce (mg/L)	Volume larutan Cu (L)	Massa adsorben (gram)	qe (mg/g)	Ce/qe (mg/g)	log Ce	log qe
100	3,460	0,01	0,01	96,540	0,036	0,539	1,985
120	4,497	0,01	0,01	115,503	0,039	0,653	2,063
140	17,854	0,01	0,01	122,146	0,146	1,252	2,087
160	27,210	0,01	0,01	132,790	0,205	1,435	2,123



Gambar 8. Grafik isoterm Langmuir pada adsorben zeolit sintesis

Persamaan Langmuir:

$$\frac{C_e}{q_e} = \frac{1}{q_{max}} C_e + \frac{1}{K_L q_{max}}$$

Persamaan garis lurus: $y = 0,0073x + 0,0096$

$$\text{Satuan slope} = \frac{dy}{dx} = \frac{C_e/q_e}{C_e} = \frac{\text{g/L}}{\text{mg/L}} = \text{g/mg}$$

$$\text{Slope} = \frac{1}{q_{max}} = 0,0073 \text{ g/mg}$$

$$q_{max} = 136,986 \text{ mg/g}$$

$$q_{max} = \frac{136,986 \text{ mg/g}}{112,411 \text{ g/mol}}$$

$$q_{max} = 1,219 \times 10^{-3} \text{ mol/g}$$

$$\text{Satuan intercept} = \text{sumbu y} = \frac{C_e}{q_e} = \frac{\text{mg/L}}{\text{mg/g}} = \text{g/L}$$

$$\text{Intercept} = \frac{1}{K_L q_{max}} = 0,0096 \text{ g/L}$$

$$\frac{1}{K_L} = \frac{0,0096 \text{ g/L}}{1/q_{max}}$$

$$\frac{1}{K_L} = \frac{0,0096 \text{ g/L}}{0,0073 \text{ g/mg}}$$

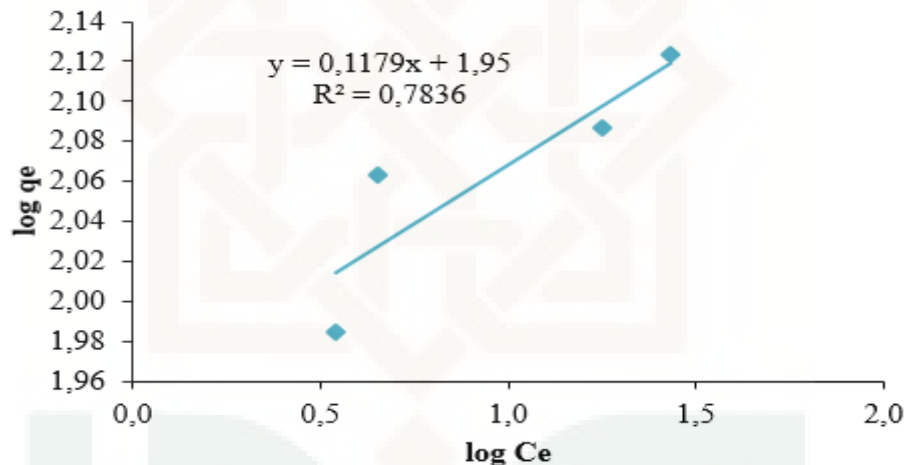
$$0,0096 \text{ g/L} \times K_L = 0,0073 \text{ g/mg}$$

$$K_L = \frac{0,0073 \text{ g/mg}}{0,0096 \text{ g/L}}$$

$$K_L = 0,76 \text{ mg/L}$$

$$K_L = \frac{0,76 \text{ mg/L}}{112,411 \text{ g/mol}}$$

$$K_L = 6,761 \times 10^{-6} \text{ mol/L}$$



Gambar 9. Grafik isoterm Freundlich pada adsorben zeolit sintesis

Persamaan Freundlich:

$$\log q_e = \frac{1}{n} \log C_e + \log K_F$$

Persamaan garis lurus : $y = 0,1179 x + 1,95$

$$Slope = \frac{1}{n} = 0,1179$$

$$n = 8,482$$

$$n = \frac{8,482 \text{ g/L}}{112,411 \text{ g/mol}}$$

$$n = 0,075 \text{ mol/L}$$

$$\text{Intercept} = qe = mg/g$$

$$\log K_F = 1,95$$

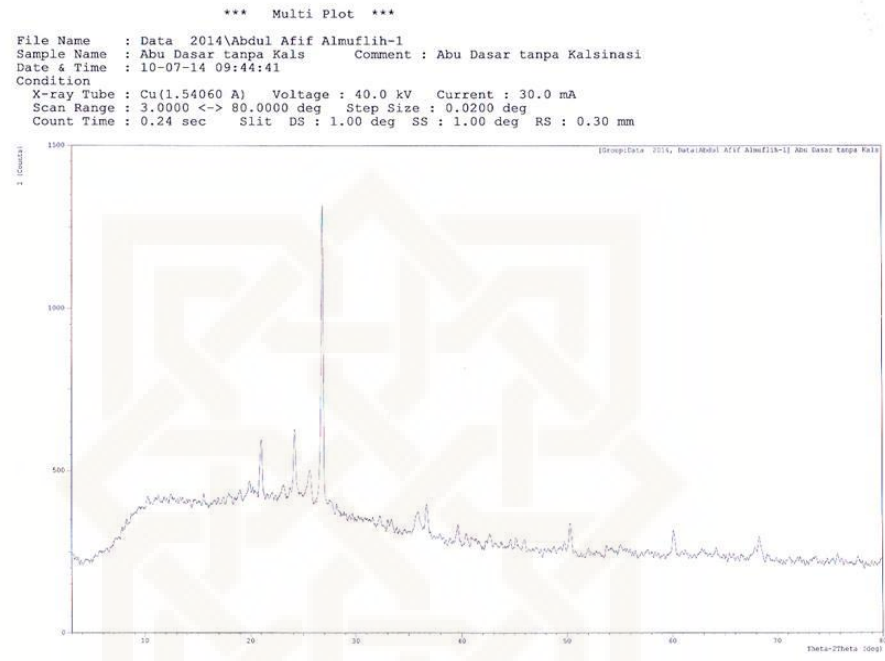
$$K_F = 10^{1,95}$$

$$K_F = 89,125$$

$$K_F = \frac{89,125}{112,411}$$

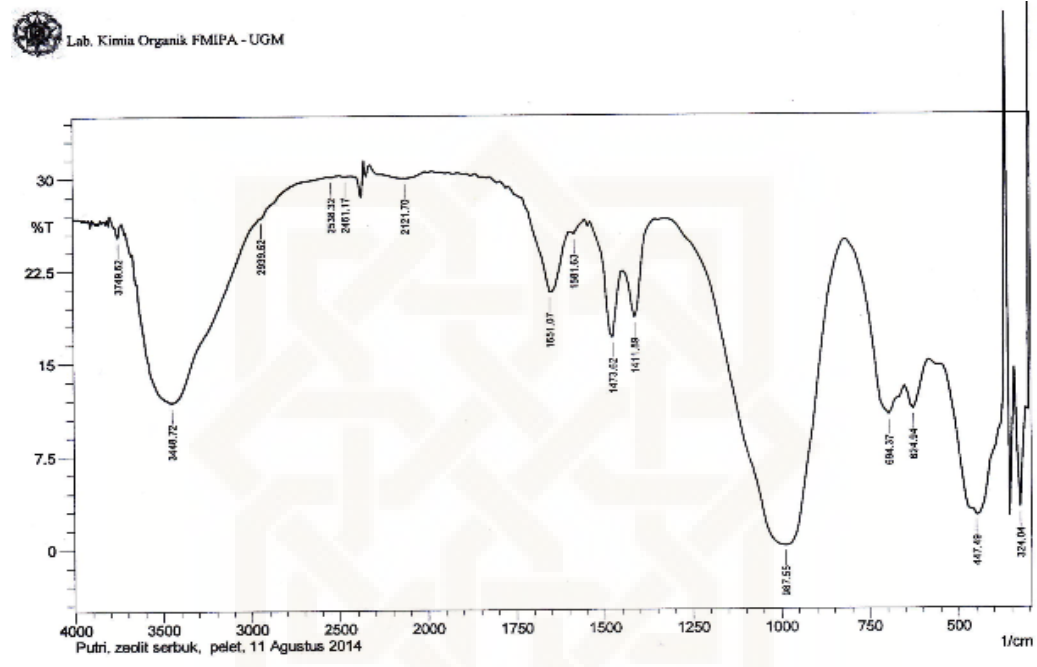
$$K_F = 0,793 \times 10^{-3}$$

Lampiran 5. Hasil Karakterisasi Abu Dasar Batubara Menggunakan XRD

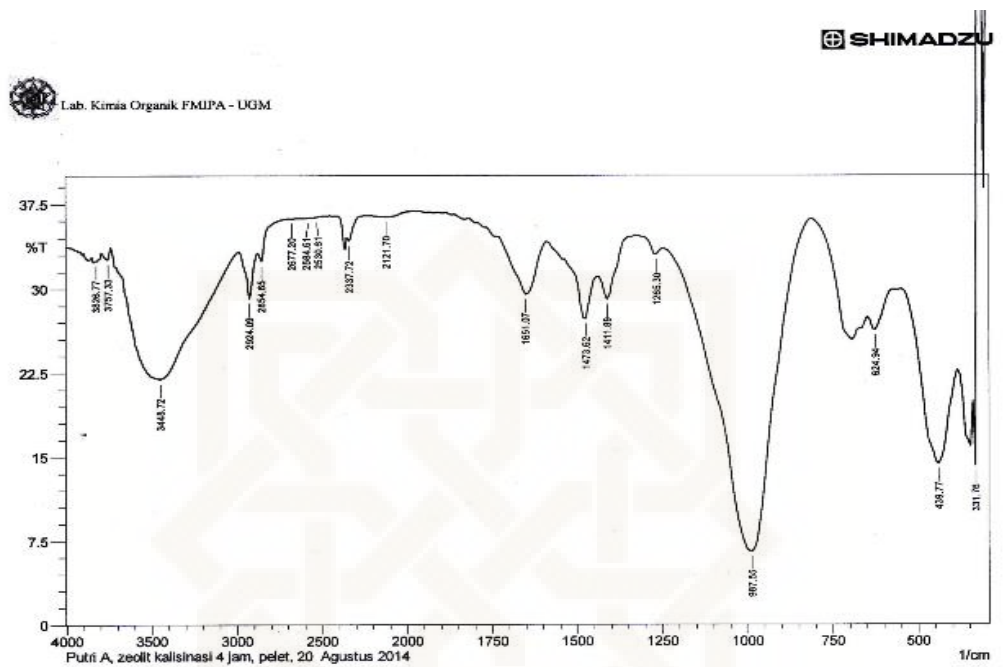


Lampiran 6. Hasil Karakterisasi Zeolit Sintesis Menggunakan FTIR dan XRD

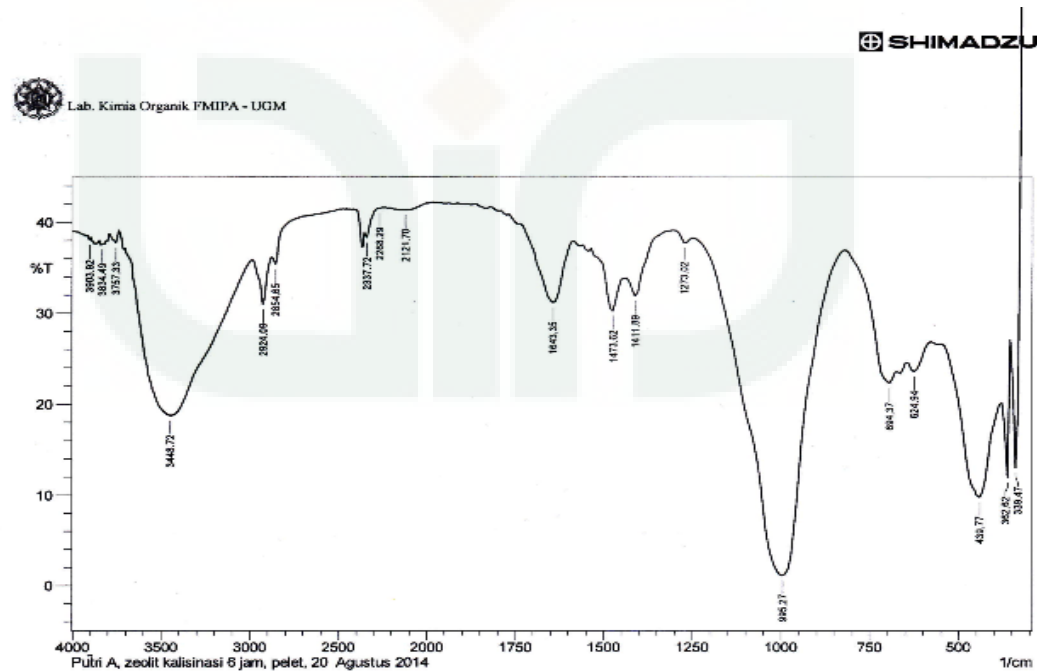
a. Spektra IR Zeolit ZK2



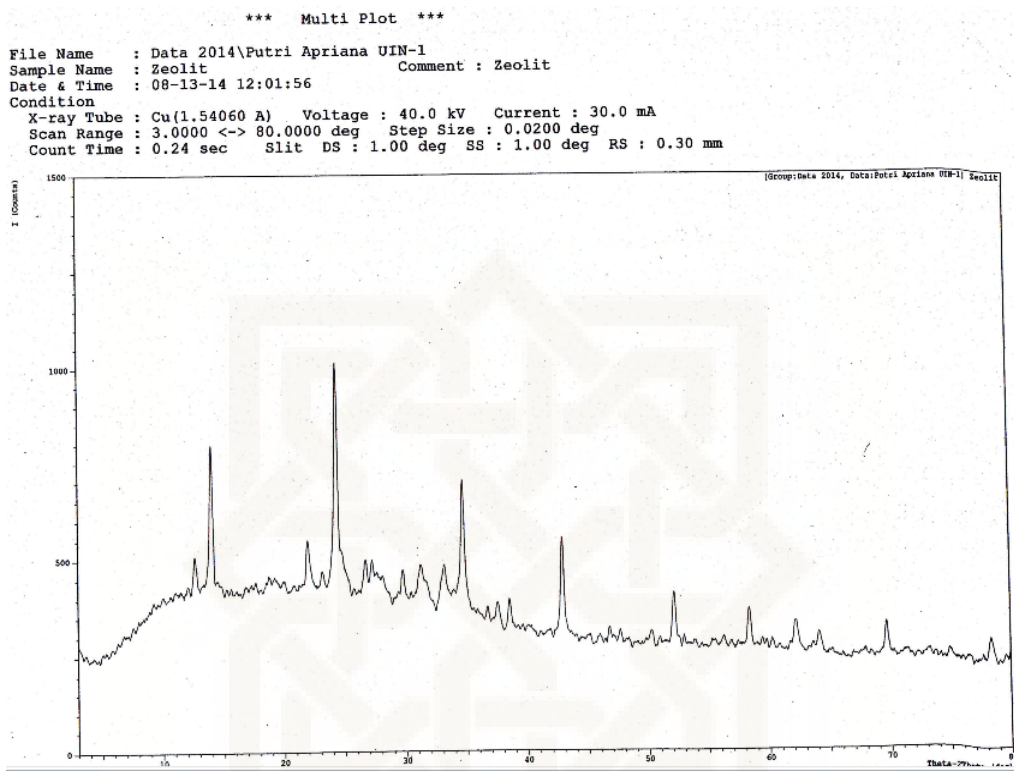
b. Spektra IR Zeolit ZK4



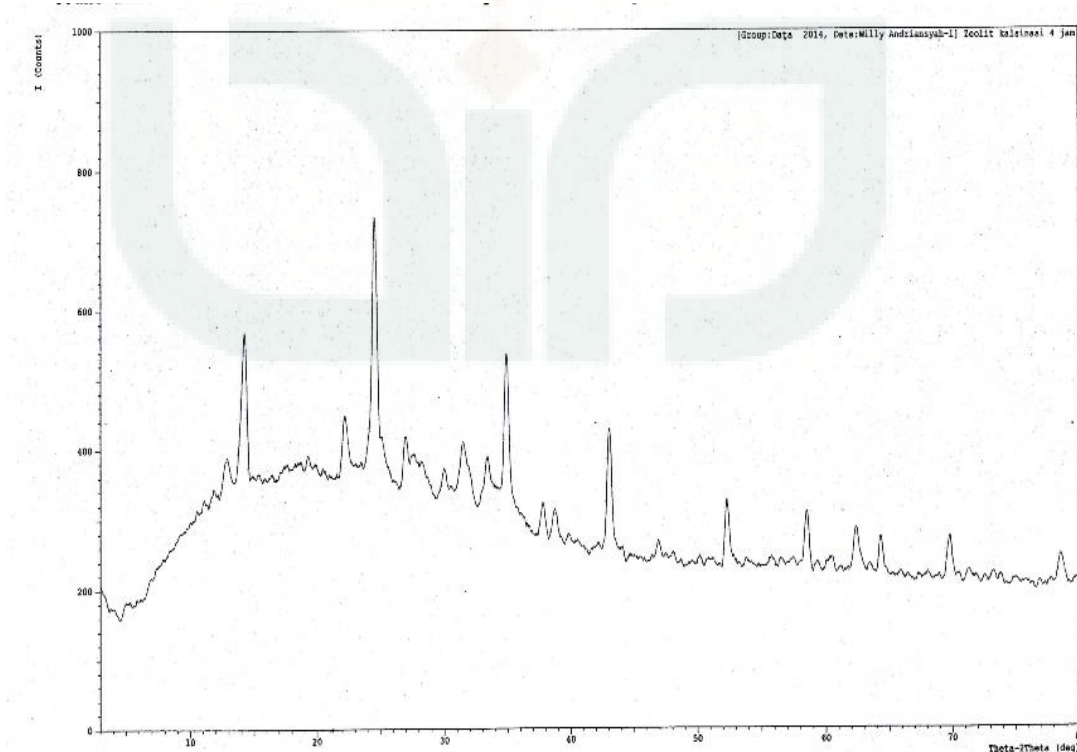
c. Spektra IR Zeolit ZK6

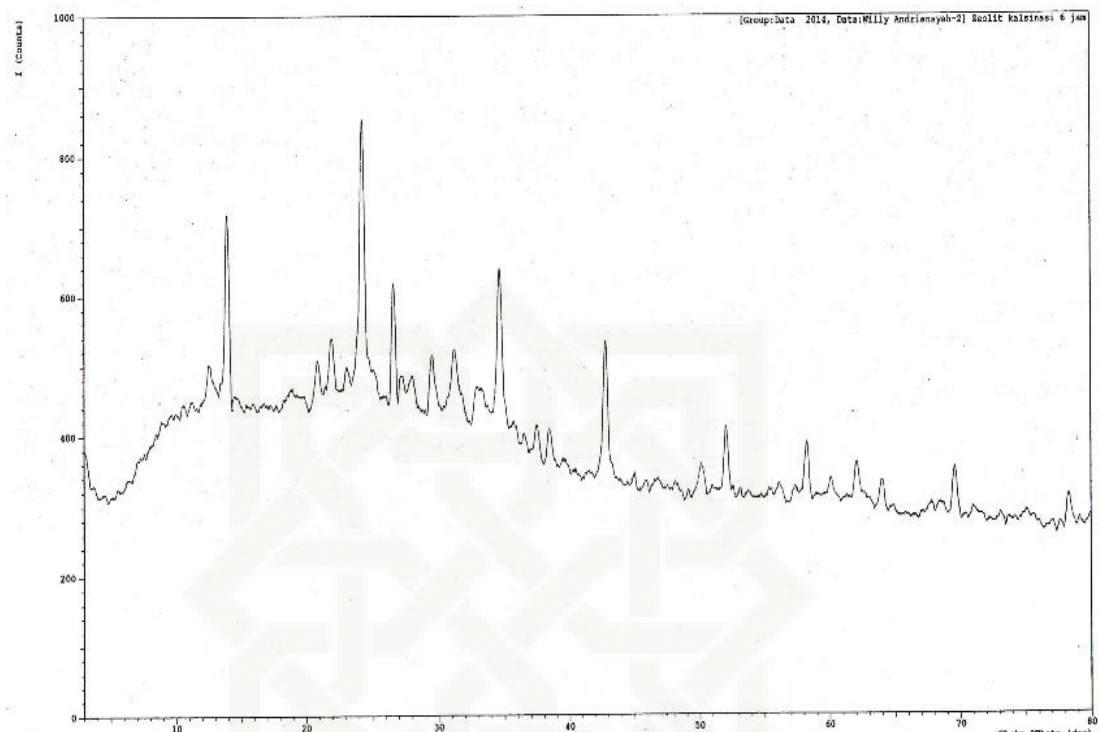


d. Difraktogram Zeolit ZK2



e. Difraktogram Zeolit ZK4

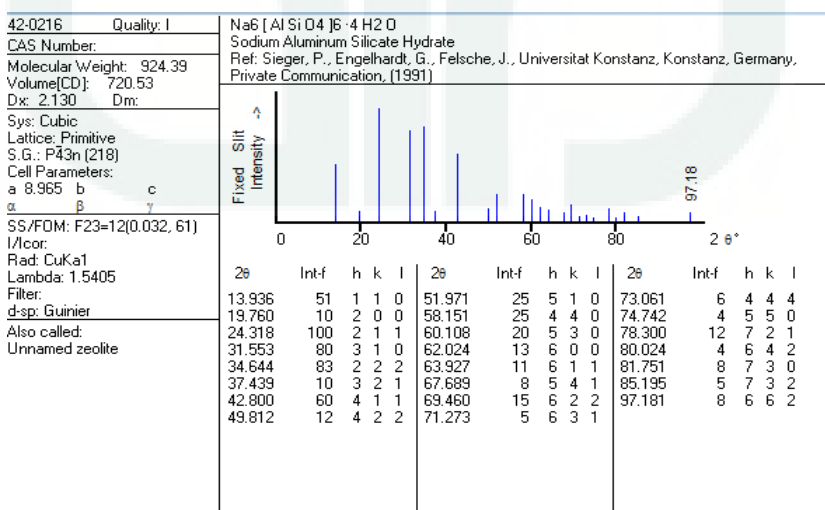
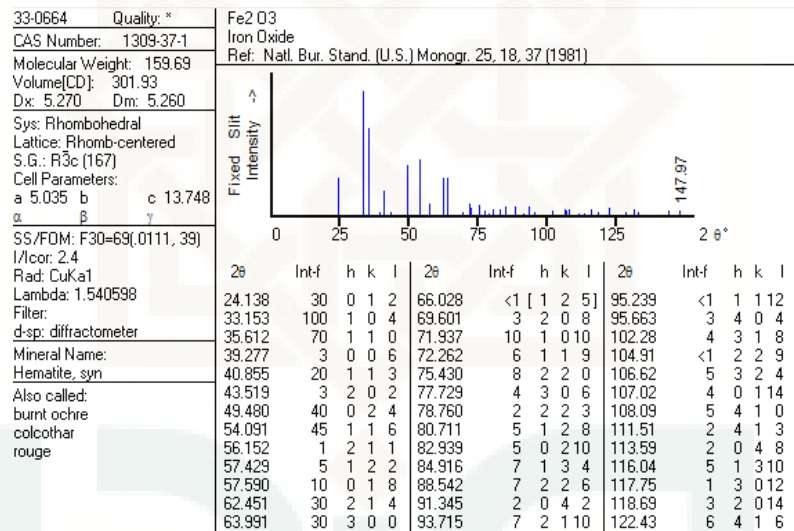
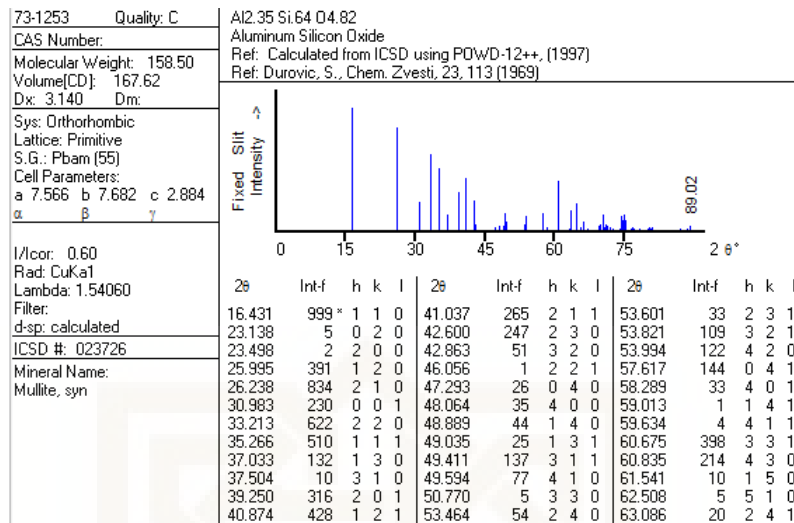


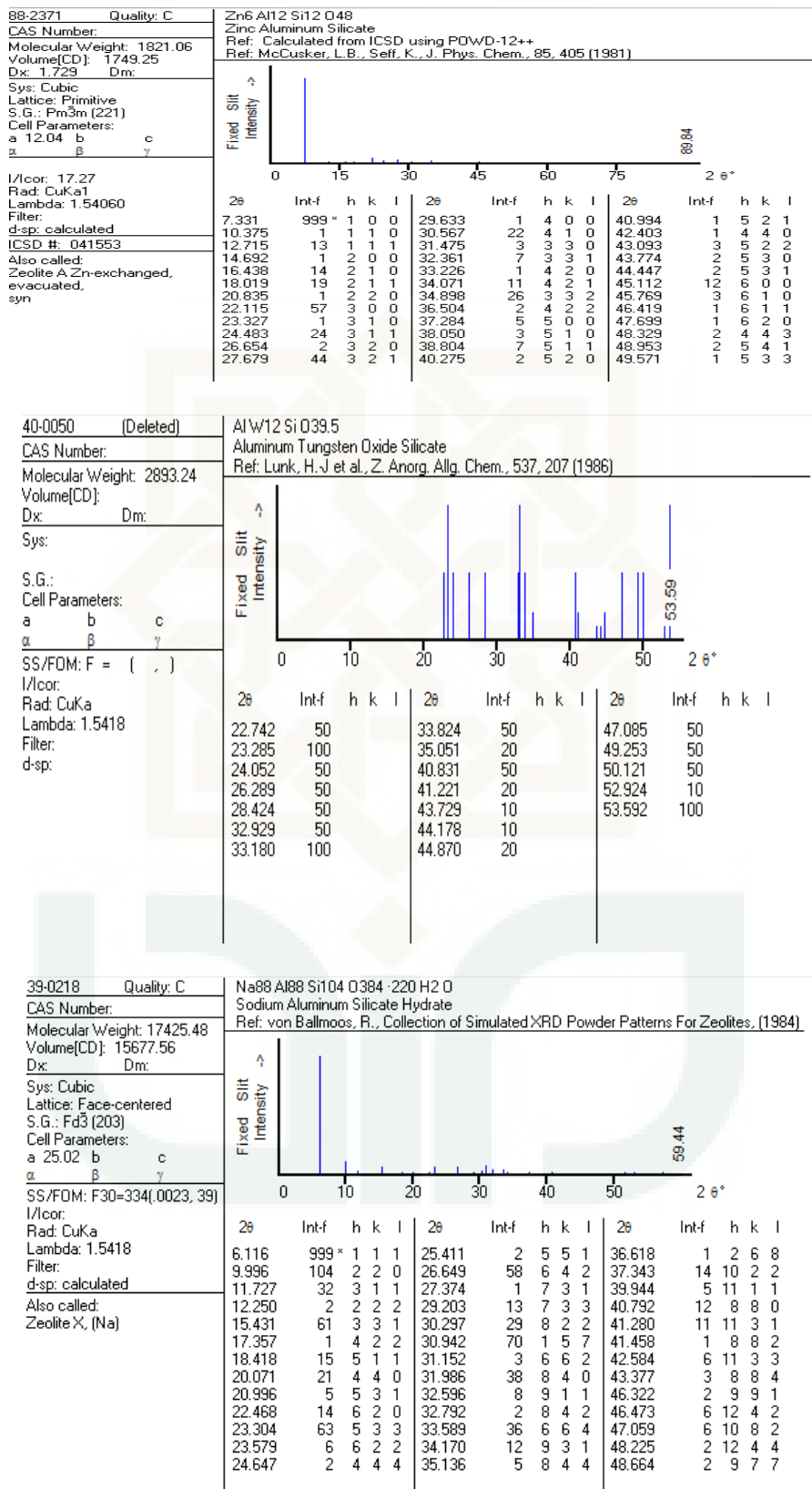
f. Difraktogram Zeolit ZK6

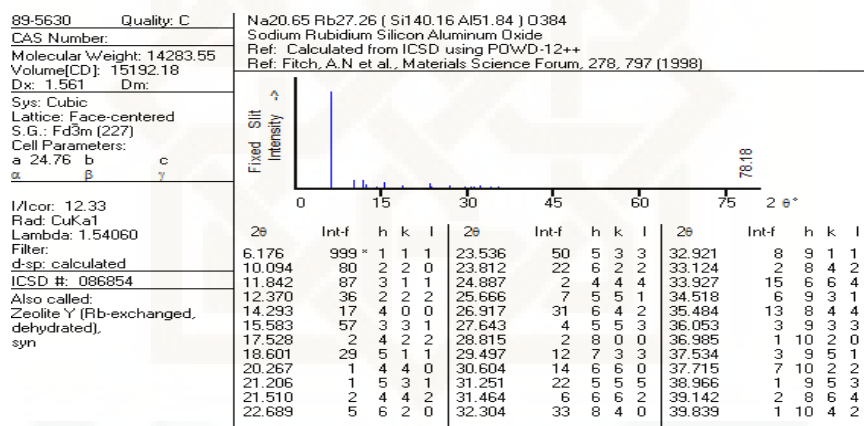
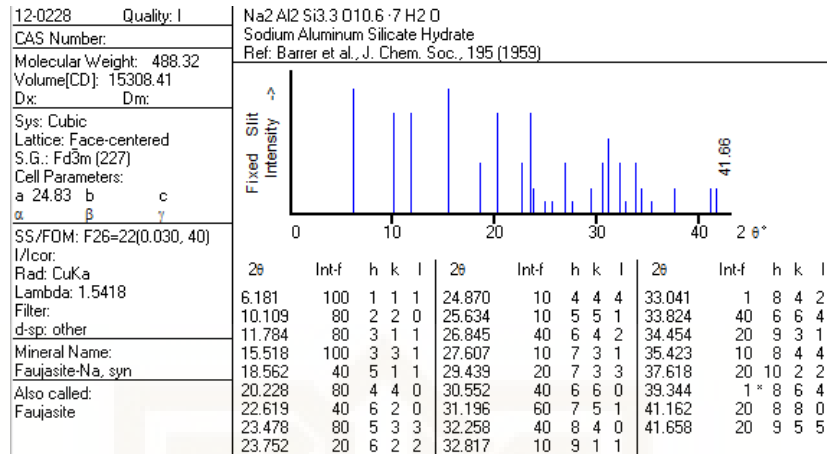
Lampiran 7. JCPDS untuk Kuarsa, Mulit, Hematit, Sodalit, Faujasit, Zeolit Y, dan Zeolit Na-P

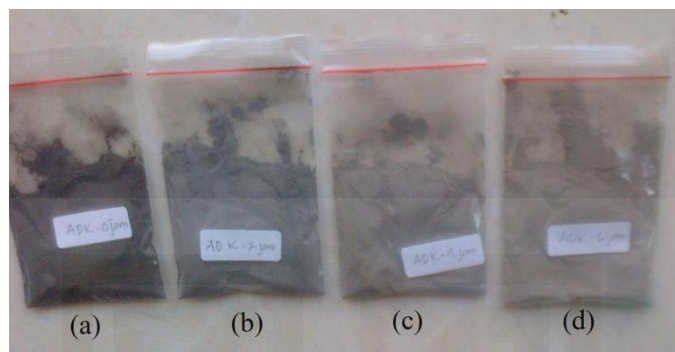
03-0419 (Deleted)	α -SiO ₂ Silicon Oxide Ref: Favejee, J., Z. Kristallogr., Kristallgeom., Kristallphys., Kristallchem., 100, 430 (1939).																																																																																																																																																						
CAS Number:																																																																																																																																																							
Molecular Weight: 60.08																																																																																																																																																							
Volume[CD]: 112.28																																																																																																																																																							
Dx: 2.666 Dm: 2.653																																																																																																																																																							
Sys: Rhombohedral																																																																																																																																																							
Lattice: Rhomb-centered																																																																																																																																																							
S.G.: R																																																																																																																																																							
Cell Parameters:																																																																																																																																																							
a 4.903 b c 5.393																																																																																																																																																							
α β γ																																																																																																																																																							
SS/FOM: F14=5(0.131, 21)																																																																																																																																																							
I/Icor:																																																																																																																																																							
Rad: CuKα1																																																																																																																																																							
Lambda: 1.5405																																																																																																																																																							
Filter:																																																																																																																																																							
d-sp:																																																																																																																																																							
Mineral Name:																																																																																																																																																							
Quartz																																																																																																																																																							
	<table border="1"> <thead> <tr> <th>2θ</th> <th>Int-f</th> <th>h</th> <th>k</th> <th>l</th> <th>2θ</th> <th>Int-f</th> <th>h</th> <th>k</th> <th>l</th> <th>2θ</th> <th>Int-f</th> <th>h</th> <th>k</th> <th>l</th> </tr> </thead> <tbody> <tr> <td>20.834</td> <td>80</td> <td></td> <td></td> <td></td> <td>54.933</td> <td>50</td> <td>2</td> <td>0</td> <td>2</td> <td>81.499</td> <td>50</td> <td></td> <td></td> <td></td> </tr> <tr> <td>23.706</td> <td>30b</td> <td></td> <td></td> <td></td> <td>60.022</td> <td>70</td> <td>2</td> <td>1</td> <td>1</td> <td>84.101</td> <td>30</td> <td>1</td> <td>3</td> <td>1</td> </tr> <tr> <td>26.585</td> <td>100</td> <td>1</td> <td>0</td> <td>1</td> <td>64.174</td> <td>20</td> <td>1</td> <td>1</td> <td>3</td> <td>90.991</td> <td>40</td> <td>3</td> <td>1</td> <td>2</td> </tr> <tr> <td>36.493</td> <td>60</td> <td>1</td> <td>1</td> <td>0</td> <td>65.698</td> <td>10</td> <td>3</td> <td>0</td> <td>0</td> <td>94.373</td> <td>30</td> <td></td> <td></td> <td></td> </tr> <tr> <td>39.489</td> <td>60</td> <td>0</td> <td>1</td> <td>2</td> <td>68.420</td> <td>80</td> <td></td> <td></td> <td></td> <td>95.569</td> <td>30</td> <td>4</td> <td>0</td> <td>1</td> </tr> <tr> <td>40.225</td> <td>30</td> <td></td> <td></td> <td></td> <td>73.324</td> <td>30</td> <td>1</td> <td>0</td> <td>4</td> <td>98.076</td> <td>30</td> <td></td> <td></td> <td></td> </tr> <tr> <td>42.399</td> <td>50</td> <td></td> <td></td> <td></td> <td>75.369</td> <td>40</td> <td></td> <td></td> <td></td> <td>102.44</td> <td>40</td> <td>0</td> <td>4</td> <td>2</td> </tr> <tr> <td>45.786</td> <td>40</td> <td>0</td> <td>2</td> <td>1</td> <td>77.544</td> <td>20</td> <td>2</td> <td>2</td> <td>0</td> <td></td> <td></td> <td></td> <td></td> <td></td> </tr> <tr> <td>50.075</td> <td>70</td> <td></td> <td></td> <td></td> <td>79.864</td> <td>40</td> <td></td> <td></td> <td></td> <td></td> <td></td> <td></td> <td></td> <td></td> </tr> </tbody> </table>	2 θ	Int-f	h	k	l	2 θ	Int-f	h	k	l	2 θ	Int-f	h	k	l	20.834	80				54.933	50	2	0	2	81.499	50				23.706	30b				60.022	70	2	1	1	84.101	30	1	3	1	26.585	100	1	0	1	64.174	20	1	1	3	90.991	40	3	1	2	36.493	60	1	1	0	65.698	10	3	0	0	94.373	30				39.489	60	0	1	2	68.420	80				95.569	30	4	0	1	40.225	30				73.324	30	1	0	4	98.076	30				42.399	50				75.369	40				102.44	40	0	4	2	45.786	40	0	2	1	77.544	20	2	2	0						50.075	70				79.864	40								
2 θ	Int-f	h	k	l	2 θ	Int-f	h	k	l	2 θ	Int-f	h	k	l																																																																																																																																									
20.834	80				54.933	50	2	0	2	81.499	50																																																																																																																																												
23.706	30b				60.022	70	2	1	1	84.101	30	1	3	1																																																																																																																																									
26.585	100	1	0	1	64.174	20	1	1	3	90.991	40	3	1	2																																																																																																																																									
36.493	60	1	1	0	65.698	10	3	0	0	94.373	30																																																																																																																																												
39.489	60	0	1	2	68.420	80				95.569	30	4	0	1																																																																																																																																									
40.225	30				73.324	30	1	0	4	98.076	30																																																																																																																																												
42.399	50				75.369	40				102.44	40	0	4	2																																																																																																																																									
45.786	40	0	2	1	77.544	20	2	2	0																																																																																																																																														
50.075	70				79.864	40																																																																																																																																																	

86-1628 Quality: C	SiO ₂ Silicon Oxide Ref: Calculated from ICSD using POWD-12++, (1997) Ref: Lager, G.A., Jorgensen, J.D., Rotella, F.J., J. Appl. Phys., 53, 6751 (1982)																																																																																																																																																																					
CAS Number:																																																																																																																																																																						
Molecular Weight: 60.08																																																																																																																																																																						
Volume[CD]: 112.37																																																																																																																																																																						
Dx: 2.664 Dm:																																																																																																																																																																						
Sys: Hexagonal																																																																																																																																																																						
Lattice: Primitive																																																																																																																																																																						
S.G.: P3121 (152)																																																																																																																																																																						
Cell Parameters:																																																																																																																																																																						
a 4.902 b c 5.393																																																																																																																																																																						
α β γ																																																																																																																																																																						
I/Icor: 3.09																																																																																																																																																																						
Rad: CuKα1																																																																																																																																																																						
Lambda: 1.54060																																																																																																																																																																						
Filter:																																																																																																																																																																						
d-sp: calculated																																																																																																																																																																						
ICSD #: 201352																																																																																																																																																																						
Mineral Name:																																																																																																																																																																						
Quartz low																																																																																																																																																																						
Non-Ambient Temperature																																																																																																																																																																						
	<table border="1"> <thead> <tr> <th>2θ</th> <th>Int-f</th> <th>h</th> <th>k</th> <th>l</th> <th>2θ</th> <th>Int-f</th> <th>h</th> <th>k</th> <th>l</th> <th>2θ</th> <th>Int-f</th> <th>h</th> <th>k</th> <th>l</th> </tr> </thead> <tbody> <tr> <td>20.908</td> <td>213</td> <td>1</td> <td>0</td> <td>0</td> <td>55.400</td> <td>16</td> <td>1</td> <td>0</td> <td>3</td> <td>77.886</td> <td>12</td> <td>2</td> <td>2</td> <td>0</td> </tr> <tr> <td>26.690</td> <td>999*</td> <td>1</td> <td>0</td> <td>1</td> <td>57.379</td> <td>2</td> <td>1</td> <td>2</td> <td>0</td> <td>80.051</td> <td>26</td> <td>2</td> <td>1</td> <td>3</td> </tr> <tr> <td>36.634</td> <td>73</td> <td>1</td> <td>1</td> <td>0</td> <td>60.107</td> <td>84</td> <td>1</td> <td>2</td> <td>1</td> <td>80.261</td> <td>20</td> <td>2</td> <td>2</td> <td>1</td> </tr> <tr> <td>39.525</td> <td>74</td> <td>0</td> <td>1</td> <td>2</td> <td>64.142</td> <td>16</td> <td>1</td> <td>1</td> <td>3</td> <td>81.301</td> <td>21</td> <td>1</td> <td>1</td> <td>4</td> </tr> <tr> <td>40.380</td> <td>34</td> <td>1</td> <td>1</td> <td>1</td> <td>65.959</td> <td>3</td> <td>3</td> <td>0</td> <td>0</td> <td>81.720</td> <td>25</td> <td>1</td> <td>3</td> <td>0</td> </tr> <tr> <td>42.556</td> <td>52</td> <td>2</td> <td>0</td> <td>0</td> <td>67.897</td> <td>52</td> <td>1</td> <td>2</td> <td>2</td> <td>84.070</td> <td>13</td> <td>3</td> <td>1</td> <td>1</td> </tr> <tr> <td>45.900</td> <td>28</td> <td>0</td> <td>2</td> <td>1</td> <td>68.265</td> <td>61</td> <td>0</td> <td>2</td> <td>3</td> <td>85.101</td> <td>2</td> <td>0</td> <td>2</td> <td>4</td> </tr> <tr> <td>50.234</td> <td>109</td> <td>1</td> <td>1</td> <td>2</td> <td>68.488</td> <td>65</td> <td>3</td> <td>0</td> <td>1</td> <td>87.303</td> <td>1</td> <td>2</td> <td>2</td> <td>2</td> </tr> <tr> <td>50.677</td> <td>5</td> <td>0</td> <td>0</td> <td>3</td> <td>73.565</td> <td>22</td> <td>0</td> <td>1</td> <td>4</td> <td>87.645</td> <td>2</td> <td>0</td> <td>3</td> <td>3</td> </tr> <tr> <td>54.983</td> <td>38</td> <td>2</td> <td>0</td> <td>2</td> <td>75.843</td> <td>25</td> <td>0</td> <td>3</td> <td>2</td> <td></td> <td></td> <td></td> <td></td> <td></td> </tr> </tbody> </table>	2 θ	Int-f	h	k	l	2 θ	Int-f	h	k	l	2 θ	Int-f	h	k	l	20.908	213	1	0	0	55.400	16	1	0	3	77.886	12	2	2	0	26.690	999*	1	0	1	57.379	2	1	2	0	80.051	26	2	1	3	36.634	73	1	1	0	60.107	84	1	2	1	80.261	20	2	2	1	39.525	74	0	1	2	64.142	16	1	1	3	81.301	21	1	1	4	40.380	34	1	1	1	65.959	3	3	0	0	81.720	25	1	3	0	42.556	52	2	0	0	67.897	52	1	2	2	84.070	13	3	1	1	45.900	28	0	2	1	68.265	61	0	2	3	85.101	2	0	2	4	50.234	109	1	1	2	68.488	65	3	0	1	87.303	1	2	2	2	50.677	5	0	0	3	73.565	22	0	1	4	87.645	2	0	3	3	54.983	38	2	0	2	75.843	25	0	3	2					
2 θ	Int-f	h	k	l	2 θ	Int-f	h	k	l	2 θ	Int-f	h	k	l																																																																																																																																																								
20.908	213	1	0	0	55.400	16	1	0	3	77.886	12	2	2	0																																																																																																																																																								
26.690	999*	1	0	1	57.379	2	1	2	0	80.051	26	2	1	3																																																																																																																																																								
36.634	73	1	1	0	60.107	84	1	2	1	80.261	20	2	2	1																																																																																																																																																								
39.525	74	0	1	2	64.142	16	1	1	3	81.301	21	1	1	4																																																																																																																																																								
40.380	34	1	1	1	65.959	3	3	0	0	81.720	25	1	3	0																																																																																																																																																								
42.556	52	2	0	0	67.897	52	1	2	2	84.070	13	3	1	1																																																																																																																																																								
45.900	28	0	2	1	68.265	61	0	2	3	85.101	2	0	2	4																																																																																																																																																								
50.234	109	1	1	2	68.488	65	3	0	1	87.303	1	2	2	2																																																																																																																																																								
50.677	5	0	0	3	73.565	22	0	1	4	87.645	2	0	3	3																																																																																																																																																								
54.983	38	2	0	2	75.843	25	0	3	2																																																																																																																																																													

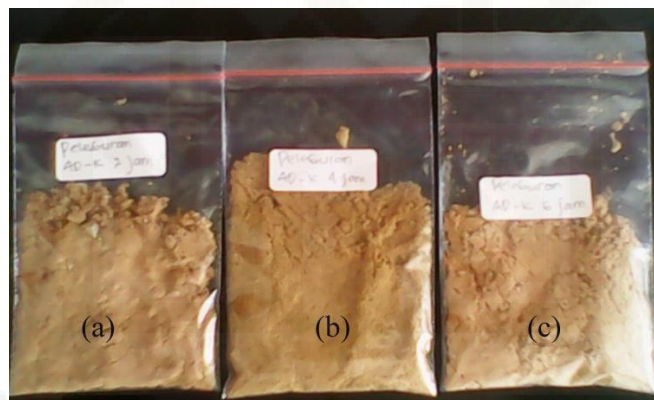




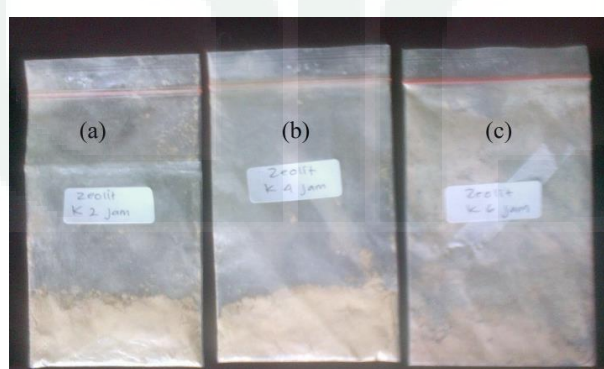


Lampiran 8. Dokumentasi penelitian

Gambar 1. Abu dasar batubara Madukismo (a) tanpa perlakuan, (b) kalsinasi 2 jam, (c) kalsinasi 4 jam, dan (d) kalsinasi 6 jam.



Gambar 2. Hasil peleburan abu dasar batubara (a) kalsinasi 2 jam, (b) kalsinasi 4 jam, dan (c) kalsinasi 6 jam dengan basa NaOH.



Gambar 3. Zeolit sintesis dari abu dasar batubara (a) kalsinasi 2 jam, (b) kalsinasi 4 jam, dan (c) kalsinasi 6 jam.